

**15240**

T.C.  
CUMHURİYET ÜNİVERSİTESİ  
TIP FAKÜLTESİ  
PATOLOJİ ANABİLİM DALI

DENEYSEL BCG UYGULANIMINDA  
AKCİĞER VE KARACİĞERDE ORTAYA ÇIKAN  
HİSTOPATOLOJİK DEĞİŞİKLİKLER  
VE  
BUNLARIN TNF -  $\alpha$  İLE İLİŞKİSİ

**T. C.**  
Yükseköğretim Kurulu  
Dokümantasyon Merkezi

**UZMANLIK TEZİ**

**Dr. H. Reyhan EGİLMEZ**

**SİVAS - 1991**



Bu tez, Cumhuriyet Üniversitesi Senatosu'nun  
05.01.1984 tarih ve 84/1 No'lu kararı ile kabul edilen  
tez yazma yönergesine göre hazırlanmıştır.

**C.Ü. TIP FAKÜLTESİ DEKANLIĞINA,**

İşbu çalışma, jürimiz tarafından Pataloji Anabilim Dalı'nda TIPTA UZMANLIK TEZİ olarak kabul edilmiştir.

**BAŞKAN** .....

**ÜYE** .....

**ÜYE** .....

**ÜYE** .....

**ÜYE** .....

Yukarıdaki imzaların, adı geçen öğretim üyelerine ait olduğunu onaylarım.

.../.../1991

**Prof. Dr. Ali GÖKALP**

**DEKAN**

## **TEŞEKKÜR**

Tezimin seçilmesi ve hazırlanması süresince ilgi ve desteğini gördüğüm değerli hocalarım, Anabilim Dalı Başkanımız Sayın Doç. Dr. Handan AKER GÜNEŞ'e, bölümümüz Öğretim Üyelerinden Sayın Doç. Dr. Ö. Fahrettin GÖZE ve Sayın Yar. Doç. Dr. Ender DÜZCAN'a, deneysel çalışmamda gerekli olan malzemelerin teminini bana sağlayan Halk Sağlığı Anabilim Dalı Öğretim Üyesi Sayın Doç. Dr. Ferit KOÇOĞLU'na ve Verem Savaş Dispanseri Hekimi Sayın Dr. Ali Rıza ERDOĞAN'a, preparatların hazırlanmasında yardımcılarını esirgemeyen bölümümüz teknisyenlerinden Asuman ŞAHİN'e tezimin çizimini yapan Radyodiyagnostik Anabilim Dalı teknisyenlerinden A. Turan BALK'a, emeği geçen bölümümüz araştırma görevlilerine ve personel arkadaşlarına teşekkür ederim.

## **İÇİNDEKİLER**

	<u>SAYFA</u>
<b>GİRİŞ .....</b>	<b>1</b>
<b>GENEL BİLGİLER .....</b>	<b>3</b>
<b>GEREÇ VE YÖNTEM .....</b>	<b>18</b>
<b>BULGULAR .....</b>	<b>21</b>
<b>TARTIŞMA .....</b>	<b>43</b>
<b>SONUÇLAR .....</b>	<b>55</b>
<b>ÖZET .....</b>	<b>56</b>
<b>KAYNAKLAR .....</b>	<b>59</b>

## ŞEKİLLER

## SAYFA

<b>Şekil 1:</b> TNF - $\alpha$ 'nın dokudaki düzeylerine göre biyolojik etkileri .....	8
<b>Şekil 2:</b> Ateşin mekanizması .....	10
<b>Şekil 3:</b> Yangışal reaksiyonda TNF - $\alpha$ ve IL - 1'in etkileri .....	11
<b>Şekil 4-a:</b> A grubundan bir farenin akciğerlerinde izlenen milier lezyonların makroskopik görünümü .....	22
<b>Şekil 4-b:</b> Şekil 4-a'daki farenin akciğer dokusunda hiperemik damar yapıları arasında yer alan santral kazaifikasyon nekrozu içeren tüberkülomlar (H - E, x 40) .....	22
<b>Şekil 4-c:</b> Şekil 4-a'daki farenin akciğer dokusunun normal yapısını ortadan kaldırın santral kazaifikasyon nekrozu çevresinde epiteloid histiositler, lenfositlerin yer aldığı tüberkülomlar (H - E, x 100) ..	23
<b>Şekil 5:</b> Karaciğer dokusunda v. centraliste konjesyon, Kupffer hücre hiperplazisi, disse aralığında iri hiperkromatik nükleuslu mononükleer hücreler ile megakaryositlerin yerıldığı ekstramedüller hemopoëzis (em) odağı (H - E, x 40) .....	26
<b>Şekil 6:</b> Akciğerde hiperemik damarlar ve serbest kanama alanları (H - E, x 100).....	28

<b>Şekil 7:</b> Kontrol (k) ve deney gruplarındaki (d) farelerin karaciğerlerinin makroskopik görünümleri .....	31
<b>Şekil 8-a:</b> A grubundaki bir farenin karaciğerindeki abse odağının makroskopik görünümü .....	31
<b>Şekil 8-b:</b> 8-a'daki farede karaciğer dokusundan belirgin fibröz bağ dokusuyla ayrılan yangısal reaksiyon, santralde bol PMNL ve nekrotik hücre artıklarının yeraldığı abse odağı (H - E, x 40).....	32
<b>Şekil 9:</b> Kaldırım taşı manzarası gösteren hepatositlerin oluşturduğu bulanık şişme (bş) alanları ve lenfositler, seyrek PMNL'lerin yeraldığı fokal nekroz (fn) odağı (H - E, x 100).....	32
<b>Şekil 10:</b> İntrasitoplazmik mikroveziküler yağlı dejenerasyon gösteren hepatositlerin yeraldığı karaciğer dokusu (H - E, x 100)..	35
<b>Şekil 11:</b> V. centraliste konjesyon, Kupffer hücre hiperplazisi ve belirgin büyülüük farkı gösteren nükleuslara sahip hepatositlerin yeraldığı karaciğer dokusu (H - E, x 40)...	37
<b>Şekil 12:</b> Z <sub>2</sub> 'de lenfositler, seyrek PMNL'lerin yeraldığı fokal nekroz (fn), belirgin şekil ve büyülüük farkı gösteren nükleuslara sahip hepatositler ve Kupffer hücre hiperplazisinin yeraldığı karaciğer dokusu (H - E, x 100).....	38

**Şekil 13:** Çevrede bulanık şişme gösteren hepatositler ile epiteloid histiosit, Langhans tipi dev hücre ve lenfositlerin yer aldığı, nekrozu olmayan kronik graniülomatöz yanmış reaksiyonun izlendiği karaciğer dokusu (H - E, x 100)..... 41



## TABLolar

### SAYFA

<b>Tablo I:</b> Deney ve Kontrol Gruplarına Göre Akciğerde İzlenen Histopatolojik Değişikliklerin Dağılımı .....	<b>28</b>
<b>Tablo II:</b> Kontrol ve Değişik Dozlarda BCG Uygulanan Farelerde Karaciğer Parankiminde Görülen Histopatolojik Değişikliklerin Dağılımı..	<b>33</b>
<b>Tablo III:</b> Hepatositlerdeki Nükleer Pleomorfizmin Kontrol ve Deney Gruplarına Göre Dağılımı	<b>36</b>
<b>Tablo IV:</b> Kontrol ve Değişik Dozlarda BCG Uygulanan Farelerde Karaciğerde Portal Alanda Görülen Histopatolojik Değişikliklerin Dağılımı .....	<b>41</b>

## GİRİŞ

BCG (bacille de Calmette Guérin), *Mycobacterium bovis* suşundan uzun süreli pasajlar sonucu hazırlanan canlı, atenüe bir aşıdır (1-9). Tüberküloz profilaksisi amacıyla kullanılan bu aşının, konağın hücresel immün direncini artırarak bazı viral, paraziter ve bakteriyel hastalıklarda da profilaktik etkisi olduğu bilinmektedir (3-5). Nonspesifik aktif immünoterapide de uygulanmaktadır (7, 10-19). BCG, lipopolisakkarit (LPS), parazitler, viral partiküller, bakteriler ve bazı bakteri enterotoksinleri aktive makrofajlar ile lenfositlerden TNF -  $\alpha$  (Tümör Nekroz Faktörü -  $\alpha$ )/Kaşektin salınımını artırırlar (12, 20-32). Bu sitokin hücre zedelenmesi, yanısal reaksiyon, enfeksiyon, kaşeksi ve tümör nekrozunda rol oynayan mediatörlerden en önemlididir (1, 20-27, 33-37). TNF -  $\alpha$  düşük dozlarda yanısal reaksiyon ve yara iyileşmesi ile dokunun yeniden şekillenmede fizyolojik rol oynadığı halde, enfeksiyon sırasında aşırı salınımı letal doku zedelenmesi ve şoka neden olur (20).

Bugüne kadar yapılan çalışmalarla adjuvan olarak kullanılan BCG enjeksiyonu sonrasında LPS verilerek serumda yüksek TNF -  $\alpha$  düzeyleri saptanmış ve visseral organlarda meydana gelen histopatolojik değişikliklerden TNF -  $\alpha$  sorumlu tutulmuştur (20-27, 38-50).

Bu çalışmada, TNF -  $\alpha$  'nın salınımının sadece BCG vererek uyarılıp uyarılmadığını ve eğer uyarılıyorsa bunun BCG dozları ile ilişkisinin olup olmadığını saptamak ve nadir de olsa BCG'nin hem tüberküloz profilaksisi hem de nonspesifik aktif immünoterapide görülen yan etkilerinin

TNF -  $\alpha$  ile ilişkisinin olup olmadığını belirlemek amacıyla albino farelere deneysel olarak değişik dozlarda BCG verilerek akciğer ve karaciğerde meydana gelen histopatolojik değişiklikler araştırıldı.

## GENEL BİLGİLER

BCG aşısı, 1908 yılında Pasteur Enstitüsü'nde Calmette ve Guérin isimli iki Fransız tarafından tüberküloz basilinin "Mycobacterium bovis" suşundan uzun süreli pasajlar sonucu hazırlanan, insanlar ve hayvanlar için virülansını kaybetmiş canlı, atenüe bir aşıdır (1-9). Bu aşı, 1921 yılından beri tüberküloz profilaksisinde kullanılmaktadır (5-9, 51). Hücresel immunité yolu ile konağın direncini artırdığı ve bu nedenle sadece tüberküloz değil, lepra, salmonella, brusella, tularemi, bazı paraziter ve viral hastalıklara karşı da profilaktik etkisi olduğu bilinmektedir (1, 3, 4, 52).

BCG ile aşılanan çocuklarda lösemi görülmeye insidansı aşılanmayanlara göre daha düşüktür (4, 7). Akut lösemi ve Hodgkin hastlığında immünoprofilaktik etkisi bilinen BCG, immünoterapi amacıyla 1970'li yıllarda sonra kullanılmaya başlanmıştır (1, 3-5, 7, 10-12, 14-17, 53-56). İlk kez deride malign melanom tedavisinde kullanılmış, konağın immün yanıtını değiştirerek etkili olmuştur (56). Daha sonraları meme karsinomunun deri metastazı, ALL, akciğer karsinomları, jinekolojik karsinomlar, baş-boyunda ilerlemiş evrede tekrarlayan yassı hücreli karsinom, kolon karsinomu, prostat karsinomu ve yumuşak doku tümörlerinde de immünoterapi amacıyla kullanılmıştır (7, 15, 17). Yüzeyel mesane tümörlerinde ise ilk kez 1976'da Morales ve arkadaşları tarafından uygulanmıştır (19). Yüzeyel mesane karsinomu ve karsinoma in situ olgularında intravezikal tedavilerde oldukça başarılı sonuçlar elde edilmiştir (16, 18, 19, 53, 56 - 62).

Nonspesifik aktif immünoterapide kullanılan BCG'nin son zamanlarda yapılan çalışmalar ile sistemik kullanımının etkili olmadığı, kanser dokusuna lokal uygulanımı ile tedavi edici etkisinin ortaya çıktığı bildirilmektedir (14-16, 54, 55). Etki mekanizması hakkında birçok teoriler ileri sürülmektedir (56, 57, 63).

Bunlardan biri üç grupta toplanan görüştür (56).

1- Ani yanısal yanıt: T - hücrelerini uyarmadan direkt makrofajlar ile,

2- Tüberkülin tip yanıt: BCG'i sindirmiş makrofajların T - hücrelerini uyarması ve lenfokin üretimi ile,

3- Tümör spesifik immünite: BCG ile uyarılan prolifere T - hücrelerinin yanı sıra BCG ve tümör hücre debrilerini sindirmiş makrofajların birarada etkisi ile meydana gelir. Bu mekanizma tümör spesifik killer T - hücrelerinin etkisini de açıklamaktadır.

Kolestergaard ve arkadaşları ise BCG ile aktive edilmiş mediatör rol oynayan makrofajların, tümör hücrelerine sitotoksik etkisini in vitro çalışmalarında şu şekilde açıklanmaktadır. BCG intraselüler demir miktarını azaltarak Krebs siklusunun bir enzimi olan akonitazda reversibl inhibisyon, mitokondride elektron transport zincirinde reversibl olaylar meydana getirerek proliferatif kapasitedeki değişiklik sonucunda sitostazis, plazma membran değişikliği sonucunda sitoliz oluşturmaktadır (63).

Bir başka çalışmada ise plazma, ekstraselüler matriks ve bazal membran boyunca bulunan bir glikoprotein olan fibrinonektin (FN)'e özellikle zedelenmiş alanda BCG' nin bağlandığı ve bu yolla antitümöral etkinin başladığı belirtilmektedir. FN molekülü yara iyileşmesi, yanısıl

reaksiyon ve normal hücreler arası kohezyonu sağlamada rol oynar. Bunun yanısıra FN ile bağlanmış yabancı cisim ve bakteriler (sitafilokok, streptokok, treponema ve mikrobakteriler), retiküloendotelyal sistem (RES)'in fagositoz fonksiyonunda opsonin görevi görür (57).

Sonuç olarak BCG'nin antitümöral etki mekanizması hakkında pek çok teori olmakla beraber, bu etkinin aktive edilmiş makrofajlar ve lenfositlerden salınan ve sitokinler adı verilen polipeptid hormonlar aracılığı ile meydana geldiği ileri sürülebilir. Bu sitokinler; interferonlar (IFNs), interlökinler (ILs), myelopoetik ve lenfopoetik büyütme faktörleri, TNF - $\alpha$  ve TNF - $\beta$ 'dır (15, 16, 20, 64).

BCG'nin komplikasyonlarını ve doku üzerindeki etkilerini anlatmadan önce BCG'nin TNF - $\alpha$  'nın salınımına yol açabileceğι, bu nedenle oluşabilecek etkilerle ilişkisini kurabilmek amacıyla TNF - $\alpha$  ve etkilerine kısaca değinelecektir.

TNF - $\alpha$  , doku zedelenmesi ile akut ve kronik yangışal reaksiyonda rol oynayan primer mediatörlerden biridir (12, 14, 20, 24, 67). Endotoksemik farede tümör lizisine neden olduğu için bu isim verilmiştir (42).

TNF - $\alpha$  , çeşitli aktive fagositik ve nonfagositik hücrelerde, makrofaj / monosit, lenfosit yanısıra natürel killer hücrelerinde, beyinde astrosit ve mikroglialarda, karaciğerde Kupffer hücrelerinde, Hodgkin hastalığında Reed - Strenberg hücrelerinde sentez edilir (20-27, 33, 36, 37, 60, 65). BCG, LPS, bazı bakteri enterotoksinleri, toksik şok sendromu toksin - 1, virusler, funguslar veya parazitik ajanlar, C<sub>5a</sub>, interlökin - 1 (IL - 1) ve otokrin etki ile TNF - $\alpha$  'nın kendisi salınımını artırır (20 - 28).

Daha önceleri yapılan çalışmalarda, kronik hastalıklarda ve tümörlerde görülen kaşeksinin mekanizmasını ortaya koymak için izole edilen makrofaj hormonuna "Kaşektin" adı verilmiştir (22). Beutler ve arkadaşları 1985 yılında kaşektin ve TNF'nin aminoasid dizilimini inceleyerek bunların aynı molekül yapısına sahip olduğunu saptadılar (22, 43).

TNF ile kaşektinin aynı molekül olduğunun belirlenmesinden sonra, TNF'nin iki formu olduğu saptandı. Bunlar TNF -  $\alpha$  (Kaşektin) ve TNF -  $\beta$  (Lenfotoksin)'dır (20, 21, 42).

TNF -  $\alpha$ , 233 aminoasidden oluşan prohormon halinde bulunur (20). Bu polipeptidden 76 aminoasidin ayrılması ile 157 aminoasidden oluşan matür TNF -  $\alpha$  meydana gelir. Bu molekül başta bir amino grubu, sonda bir karboksil grubu taşır. Moleküldede bulunan iki sistin birbirine bir disülfid köprüsü ile bağlanır (21, 42).

TNF -  $\beta$ , 171 aminoasidden oluşur. Aminoasid dizilimi TNF -  $\alpha$ 'ya benzer. TNF -  $\alpha$  tarafından uyarılan TNF -  $\beta$  neoplastik hücreler üzerinde antiproliferatif etki gösterir (20, 21, 42). Interferon -  $\gamma$  (IFN -  $\gamma$ ), IL - 1, TNF -  $\alpha$  ile birlikte kronik yanışsal reaksiyonlarda lenfositlerin endotele adezyonunu sağlar (66).

Her ikisi de insanda 6. kromozomun kısa kolunda ayrı genlerde kodlanır (20 - 22).

Diğer sitokinler gibi TNF -  $\alpha$  ve TNF -  $\beta$ 'nın etkileri üç yoldan olur. Bunlar;

1- Otokrin etki. Kendini üreten hücre üzerine etkisi,

2- Parakrin etki. Hızla yakınındaki hücrelere etkisi,

3- Endokrin etki. Diğer hormonlar gibi sistemik etkisidir (33, 65).

Çalışmalarda TNF -  $\alpha$  'nın sentezini uyarmak için iki aşamalı uygulama yapılmaktadır. Böylece önce, BCG ve daha sonra LPS verildiğinde hem transkripsiyon hem de translasyon ile bir kaç dakika içinde matür TNF -  $\alpha$  salgılandığı deneysel olarak gösterilmektedir (20 - 28, 36, 38-47, 50, 60, 65).

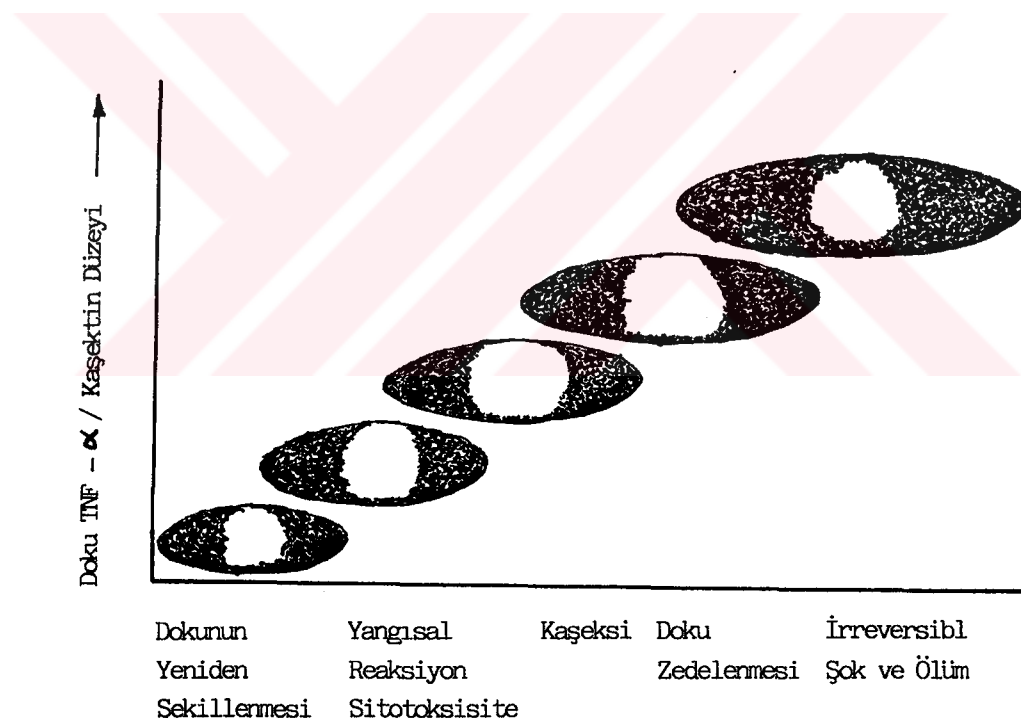
TNF -  $\alpha$  doza bağlı olarak değişik biyolojik etkiler meydana getirir. Düşük dozda hücresel sitotoksisite ve diğer büyümeye faktörleri ile birlikte yara iyileşmesinde hem kollajen hem de kollajenazın sentezini artırarak proliferatif ve destrüktif olayları birlikte koordine eder. Bunun yanısıra IL - 1 ile birlikte fibröz dokunun yeniden şekillenmesinde rol oynar (20, 33).

Doz biraz daha arttırıldığında yine IL - 1 ile birlikte yangışal reaksiyonda polimorfonükleer lökosit (PMNL)'lerin, monosit ve lenfositlerin endotel yüzeyine adezyonunu artırır (20, 33). Prostaglandin  $I_2$  (PG  $I_2$ )'nin sentezini ve salınımını artırarak vazodilatasyonu ve trombosit agregasyonunu inhibe eder (33). Diğer taraftan Trombosit Aktive Eden Faktör (Platelet Activating Factor - PAF) sentezini de uyarır (20, 33).

TNF -  $\alpha$  kronik, subletal dozda kaşeksiden sorumludur (20-24, 33, 42, 43). TNF -  $\alpha$  akut sistemik salınımı durumunda ise doku zedelenmesi, irreversibl şok ve ölüme neden olur (20 - 27). Şekil 1'de TNF -  $\alpha$  'nın doku düzeylerine göre etkileri gösterilmiştir.

**Yara İyileşmesinde ve Dokunun Yeniden Şekillenmesinde TNF -  $\alpha$  'nın Rolü:** TNF -  $\alpha$  yara iyileşmesi ile dokunun yeniden şekillenmesinde proliferatif ve destrüktif olayları koordine bir şekilde yürütür. Büyüme faktörlerinin yanısıra fibroblastları direkt olarak prolifere eder. Sente-

zini artırdığı büyümeye faktörleri, Fibroblast Büyümeye Faktörü, Dönüştürücü Büyümeye Faktörü (Transforming growth factor - TGF), Trombositten Oluşan Büyümeye Faktörü (Platelet-derived growth factor - PDGF)'dır. Destrüktif etkisini ise direkt endotel hücrelerine sitotoksik etkisinin yanısıra kollajenaz ve proteaz enzimleri, reaktif oksijen metabolitleri ve arakidonik asit metabolitleri aracılığı ile meydana getirir (20). Ayrıca anjiogenezde sinerjik etki oluşturur (33).

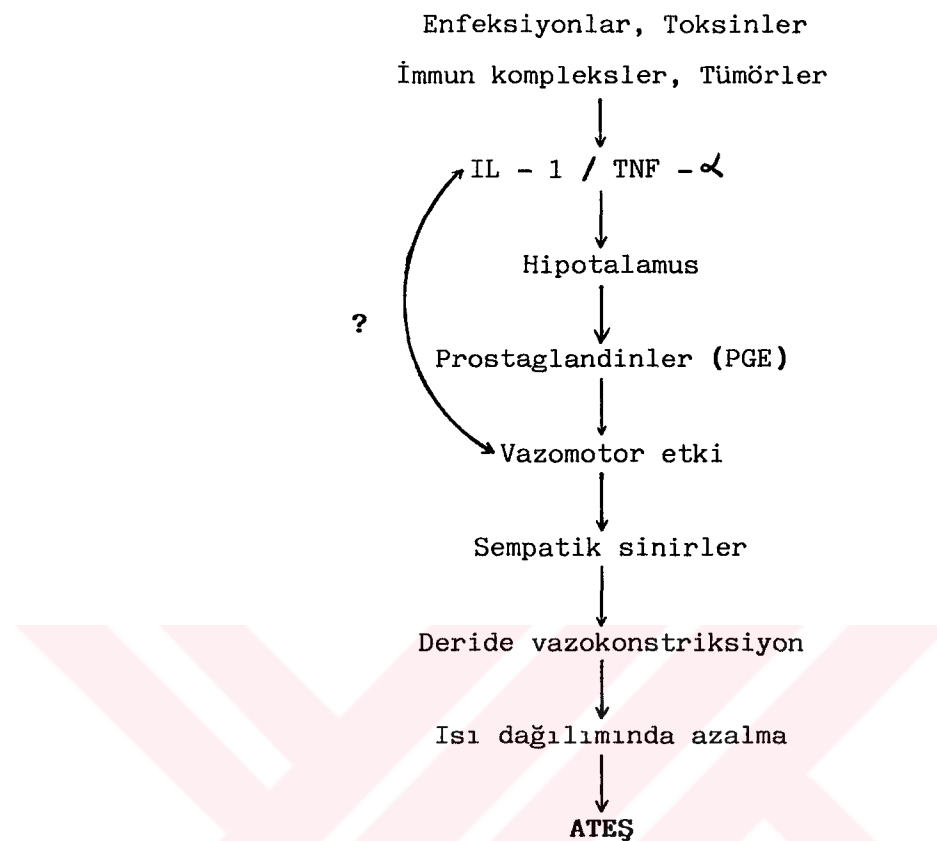


**Şekil 1:** TNF -  $\alpha$  'nın dokudaki düzeylerine göre biyolojik etkileri (Tracey KJ ve arkadaşları: Cachectin/Tumor Necrosis Factor: Lancet, May 20, 1989).

### Yangışal Reaksiyonda TNF'nin Rolü: TNF - $\alpha$

akut ve kronik yangışal reaksiyonlarda rol oynayan en önemli kimyasal mediatörlerden birisidir. Bu etkilerini IL - 1 ile birlikte oluşturur (12, 14, 20 - 24, 33, 67). PMNL, monosit, lenfosit ve makrofajların kemotaksislerini, fagositik ve sitotoksik aktivitelerini artırır. PMNL'lerin marjinasyonunu uyarır. Lenfosit ve PMNL'lerin endotel yüzeyine adezyonunu, artmış interselüler lökosit adezyon molekülleri (Intercellular - leucocyte adhesion molecules ICAMs) ve endotelyal lökosit adezyon molekülleri (Endothelial - leucocyte adhesion molecules ELAMs) ile sağlar. Endotel hücrelerinin morfolojilerini de değiştirir. Endotel hücresinde prostaglandin (PG) sentezini uyarır. Ayrıca endotel hücre yüzeyinde prokoagulan aktiviteyi de hızlandırır. Bütün bu etki mekanizmaları *in vitro* olarak gösterilmiştir (20, 33, 55). Ayrıca sistemik lupus eritematozus, romatoid artrit, immun kompleks glomerulonefriti ve transplant rejeksiyonu gösteren hastaların serumları ve dokularında TNF - $\alpha$  saptanmıştır (20, 37, 66, 67).

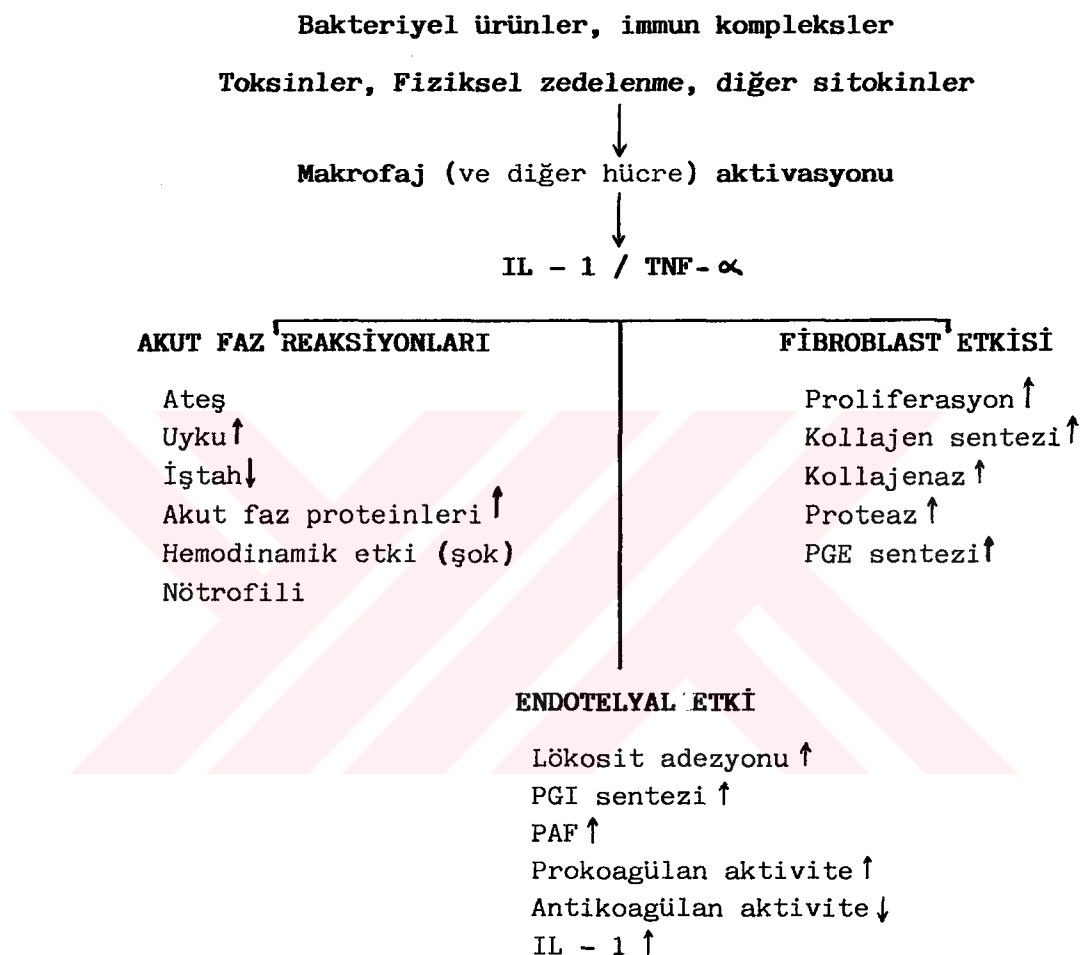
Yangışal reaksiyonların sistemik belirtilerinden ve akut faz reaksiyonlarından biri olan ateşin oluşmasında TNF - $\alpha$  yine IL - 1 ile birlikte mediatör rol oynar (20, 33). TNF - $\alpha$  ve IL - 1 ya da her ikisi birlikte salındığında hipotalamusta termoregülatuar merkezdeki vasküler reseptörleri direkt veya PG üretimi yoluyla uyarır. Sempatik sinir stimülasyonu ve derideki damarlarda konstriksiyon nedeniyle ısı dağılımının azalması sonucunda ateş meydana gelir (33). Ateşin mekanizması şekil 2'de özetlenmiştir.



**Şekil 2:** Ateşin mekanizması (Cotran RS ve arkadaşları: Inflammation and repair: Robbins pathologic basis of disease, 1989).

Özellikle bakteriyel enfeksiyonların neden olduğu yanışsal reaksiyonlarda lökositoz önemli bir bulgudur (1, 4-6, 33). Enfeksiyonun başlangıcında belirgin olan ve bazen lökomoid reaksiyon olarak da tanımlanan lökositoz, IL - 1 ve TNF -  $\alpha$  aracılığı ile kemik iliğinde postmitotik rezerv havuzunda bulunan hücrelerin hızla kana salınımı sonucunda meydana gelir (33). Bununla beraber uzamış enfeksiyonlarda Koloni Stimüle Eden Faktörlerin (Colony - stimulating factors - CSFs) artması nedeniyle kemik iliğindeki

prekürsör hücrelerinin de prolifere olması sonucunda lökosit artışı devam eder (33). Yangısal reaksiyonda TNF- $\alpha$ 'nın etkileri Şekil 3'te gösterilmiştir.



**Şekil 3:** Yangısal reaksiyonda TNF -  $\alpha$  IL - 1'in etkileri (Cotran RS ve arkadaşları: Inflammation and repair: Robbins pathologic basis of disease, 1989).

Kaşekside TNF -  $\alpha$  'nın Rolü: Kronik subletal dozda TNF -  $\alpha$  verilen hayvanlar kaşektik olmaya başlar. Anoreksi, kilo kaybı, anemi, bütün vücut proteinlerinde azalma görülür (20). Ancak, çok küçük dozlarda bile kronik salınıminında anoreksi ve kilo kaybı meydana getirdiği de gösterilmiştir (31). *In vitro* sitokinle enkübe edilen yağ ve iskelet kası hücrelerinde lipolizis ve glukojenolizis yoluyla katabolizmanın arttığı gösterilmiştir (20). Ayrıca TNF -  $\alpha$  lipoprotein lipaz supresyonu yaparak yağ dokusunda ekzojen trigliseridlerin yağ hücrelerine alınımını engeller ve parodoksal olarak hiperlipemi oluşturur ki bu özellik bazı enfeksiyon hastalıkları ve bazı tümörlerde tespit edilebilir (43).

Balkwill ve arkadaşları yaptıkları bir çalışmada over ve akciğerin yulaf hücreli karsinomunda, hastalığın aktif seyrinde serumda yüksek TNF -  $\alpha$  düzeyleri tespit etmişlerdir. Yine aynı çalışmada hastalığı belirgin olmayan kolon, mide karsinomlu hastalarda serum TNF -  $\alpha$  düzeyleri düşük bulunmuştur (68).

Değişik enfeksiyon hastalıklarında da TNF -  $\alpha$  düzeyleri değerlendirilmiştir. Tüberküloz, tüberküloid lepra ve AIDS'in yanısıra bazı parazitik enfeksiyonlarda özellikle fatal seyirli malyaria olgularında serumda yüksek TNF -  $\alpha$  düzeyleri despit edilmiştir (20, 28, 29, 31, 68, 69).

Kaşekside görülen değişikliklerden yalnızca TNF -  $\alpha$  'nın sorumlu tutulamayacağı bilinmektedir. Burada TNF -  $\alpha$  ile uyarılan diğer mediatörlere de gereksinim vardır. Sekonder salınan bu mediatörler;

1- Peptid regülatuar faktörler: IL - 1, Interlökin - 6 (IL - 6), Granülosit - makrofaj - CSF (Granulocyte-

macrophage colony stimulating factor - GM-CSF), PDGF ve TGF,

2- Ökosanoidler: PGs, Lökotrienler (Leukotrienes-LTs), PAF,

3- Hormonlar: Kortikotropin / kortizol, adrenalin, noradrenalin ve glukagon'dur (20).

Kaşekside tedavi amacıyla kullanılmış bulunan monoklonal anti - kaşektin / TNF -  $\alpha$  antikorları ile başarılı sonuç alınamamıştır (20).

Septik Şokta TNF -  $\alpha$  'nın Rolü: Deneysel çalışmalarda TNF -  $\alpha$  'nın endotoksinin intravenöz verilmesinden iki saat sonra serumda yükseldiği, sistemik salınımı ile endokrin etki sonucunda doku zedelenmesi ve şok meydana getirdiği gösterilmiştir (12, 20, 22-26, 39, 41, 43).

TNF -  $\alpha$  endotelyal prokoagülan aktiviteyi PMNL'lelerin endotele adezyonunu artırır. Diğer taraftan süperoksit radikalleri ile arakidonik asit metabolitlerinin de salınımını artırarak doku zedelenmesinde mediatör rol oynar (20, 22-26).

Endotel hasarı ve mikrosirkulatuar dolaşım yetmezliği sonucunda anoksi ile hücre ölümü meydana gelir (33). Septik şoktaki kardiyovasküler kollaps patogenezinde TNF -  $\alpha$  dışında diğer mediatörlere de gereksinim vardır. Bunlar; IL - 1, Interlökin 2 (IL - 2), GM - CSF, TGF, PGs, LTs, PAF, kortizol, adrenalin, noradrenalin ve glukagon'dur (20, 33).

Malignitede TNF -  $\alpha$  'nın Rolü: İlk kez Coley, bir hastada gelişen streptokok enfeksiyonu sonrasında tümörün gerilediğini gözlemlemiş ve daha sonra anti-tümoral yanıt için canlı bakteri enfeksiyonları oluşturarak başarılı

sonuçlar elde etmiştir. Ancak bu kez enfeksiyonun kontrol edilememesi üzerine "Coley Toksinleri" olarak bilinen ölü bakterilerden hazırlanan maddeler kullanılmıştır (70). Bu toksinlerin ateş, döküntü gibi yan etkilerinin olması yanısıra radyoterapi ve kemoterapinin gelişmesi ile kullanımı azalmıştır (21).

Yapılan çalışmalarda BCG ve bunun ardından LPS enjeksiyonu sonrasında hayvanlardan elde edilen TNF - $\alpha$ 'nın diğer hayvanlara aktarımı sonucunda tüm hayvanların tümörlerinde hemorajik nekroz meydana geldiği gösterilmiştir (20-27, 31, 39-43, 47, 50). TNF - $\alpha$  endotoksemik farelerde de tümör nekrozuna yol açar (20 - 24). Sitotoksik etkisi in vivo olarak gösterilen TNF - $\alpha$  bazı toksik etkileri nedeniyle tedavi amacıyla kullanılamamaktadır (20). TNF - $\alpha$ 'nın toksik etkilerinin çoğundan PGE<sub>2</sub> sorumlu tutulmaktadır. Kettelhut ve arkadaşları PGE<sub>2</sub> oluşumunu bloke eden siklooksijenaz inhibitörleri ile TNF - $\alpha$ 'nın toksik etkilerinin inhibe edilebileceğini göstermişlerdir (45).

Sonuç olarak TNF - $\alpha$  düşük dozlarda yangışal reaksiyon ve yara iyileşmesinde, dokunun yeniden şekillenmesinde fizyolojik rol oynadığı halde, enfeksiyon sırasında aşırı salınımı letal doku zedelenmesi ve şoka neden olur (20-27, 31, 33, 37-43, 47, 50, 55, 66, 67).

Bugün dünyanın çeşitli ülkelerinde kullanılan BCG aşları orijinal sustan üretilerek hazırlanmaktadır. Aşının üretim teknliğindeki farklılıklar, bakteriyel susta zamanla oluşan genetik değişiklikler, aşının uygulama yolları ve yöntemleri, aşının uygulama yaşının küçük olması, kişinin immün sistemindeki değişiklikler BCG aşısının immü-

nojenitesinde, etkisinde ve reaksiyonunda değişikliklere neden olabilmektedir. Bu nedenle, yapılan çalışmalarda morbiditeyi % 70-80 oranında azalttığı ileri sürülmürken, diğer bazı çalışmalarda ise koruyucu etkisinin az veya hiç olmadığı ileri sürülmüştür (8, 33, 51, 56).

Değişik aşı suşlarının değişik komplikasyonları olmakla beraber, en sık görüleni ipsilateral aksilla veya supraklavikular lenf ganglionunda aşidan 3 - 12 hafta sonra gelişen lenfadenittir. Subkutan abseler de gelişebilir (51, 71-74). Nadiren aksiller lenf ganglionunda kalsifikasyon oluşabilir (73). Diğer nadir görülen komplikasyonları osteomyelit, lupus vulgaris, eritema nodosum, iritis veya dissemine BCG enfeksiyonu (BCGitis)'dur (8, 51, 71-74). İmmün sistemi baskılanmış kişilerde BCGitis'in daha sık görüldüğü bildirilmektedir (14, 71, 72, 75).

Nonspesifik aktif immünoterapi nedeniyle kullanılan BCG'nin de komplikasyonları nadirdir (14, 59, 61, 62, 76-79). Yüzeyel mesane karsinomlarının tedavisinde disüri, hematiürü gibi irritasyon semptomları ve epididimit şeklinde lokal semptomlar yanısıra granülomatöz prostatit, renal granülomlar, granülomatöz hepatit, septik artrit, Pott hastalığı, eritema multiforme, cerrahi yara iyileşmesinde gecikme ve BCGitis şeklinde komplikasyonların ortaya çıktığı olgular bildirilmiştir (14, 61, 62, 76-79).

BCGitis'de histopatolojik değişiklikler her organda görülebilir. En önemlileri arasında bronkopulmoner lezyon ve granülomatöz hepatit şeklinde karşımıza çıkan lezyonlardır (33, 62, 76-82). Bronkopulmoner lezyon, diffüz bronkopnomoni veya eksüdatif konsolidasyon şeklinde dir. Histopatolojisinde karakteristik olarak santralde geniş

kazeifikasyon alanı ile bunu çevreleyen Langhans tipi dev hücreler, epiteloid histiositler ve lenfositlerden oluşan tüberküller yapıları izlenir (33, 83).

Karaciğerde meydana gelen değişiklik granülo-matöz hepatit'dir. Özellikle portal alanda belirgin epiteloid histiositler, lenfositler, Langhans tipi dev hücreler ve az veya çok kazeifikasyon nekrozundan meydana gelen epiteloid granülomlar izlenir (83 - 85). Eğer lezyon parankim içinde ise granülomların ayırcı tanısı zordur (86).

Granüomatöz hepatit mikobakteriyel enfeksiyon dışında, bakteriyel, viral, paraziter, spiroketal, mikotik, riketsiyal enfeksiyonlarda da gelişebilir. Hepatik granüлом ayrıca metalik zehirlenmeler, ilaca bağlı zedelenmeler, çeşitli yabancı cisimler, hücre içeriğinin dışarıya çıkması, karaciğer tümörleri, sarkoidoz, primer bilier siroz, inflamatuvar barsak hastalıkları, polimyalgia romatika, jeunoileal bypass cerrahileri gibi çok geniş etiyolojileri içerir. Granüomonun kazeifikasyon gösterip göstermemesi, lipo veya epiteloid granüłom olup olmaması yanısıra seçilmiş olgularda mikroorganizmalar için özel boyalar, polarize, faz kontrast, skenning veya transmisyon mikroskopileri, immünflorasan teknikler ayırcı tanıda yapılmalıdır. Ayrıca öykü ve serolojik incelemelerin de bilinmesi gerekmektedir (33, 84-90).

BCG'nin granüłom dışında karaciğer dokusunda neden olduğu diğer histopatolojik değişiklikler literatürde tanımlanmamıştır. Ancak ilgi gereği, fokal nekroz lobülüüs zonları, nükleer pleomorfizmden bahsedilecektir.

Fokal nekroz, karaciğer lobülüslarının belirli bir bölgesinde belirgin ilişki göstermeyen küçük litik

nekroz odaklarıdır. Hücre membranı parçalanarak hücre içeriği boşaldığından fokal nekroz alanında parankim hücreleri yerine histiosit, lenfosit ve plazma hücreleri, bazen de az sayıda PMNL'leri içeren yangışal reaksiyon izlenir. Viral hepatitin yanısıra tüberküloz, sarkoidoz ve diğer granülomatöz hastalıklar ve bilier obstrüksiyonda safra gölcükleri ile birlikte, tifo, difteri, tularemi gibi enfeksiyon hastalıklarında ve hızlı seyreden Hodgkin hastlığında da görülür (33, 49, 84, 85, 87-90).

Parankim içinde yer alan lezyonların lokalizasyonunu belirtmek için Rappaport'un zon ayırımı kullanılır. Buna göre periportal zon ( $Z_1$ ), midzonal bölge ( $Z_2$ ), santrolobuler zon ( $Z_3$ ) olarak ayrılır (84, 85, 91).

Hepatositlerde gözlenen nükleer değişiklikler letal veya subletal etki ile zedelenen hücrelerde ortaya çıkar. Erken değişiklik olarak kromatin kabalaşır ve nükleer membrana yakınlaşarak kümeler oluşturur. Daha sonra nükleus büzülerek küçülür (piknoz), bunu karyolizis ya da karyoreksis izler (33).

## GEREÇ VE YÖNTEM

Bu çalışma Cumhuriyet Üniversitesi Tıp Fakültesi Patoloji Anabilim Dalı'nda Eylül 1990 - Mart 1991 tarihleri arasında yapıldı.

Denekler: Çalışmada ağırlıkları 45 - 50 gr. arasında değişen, Cumhuriyet Üniversitesi Tıp Fakültesi Araştırma Laboratuarında yetiştirilen sağlıklı albino tipi fareler kullanıldı. Fareler 37x17x15 cm. boyutlarında, üzeri telle kaplı çinko kafesler içinde çalışma gruplarının daki dişi ve erkek fareler ayrı ayrı olmak üzere normal oda ısı ve neminde tutuldular. Fareler Sivas Yem Fabrikası tarafından üretilen standart fare yemi ile beslendi. Farelere musluk suyu verildi.

Deney Gruplarının Oluşturulması: Deney grupları için kullanılan BCG - Liyofilize (Cannaught Laboratories Limited, 2259 - 11), Sivas Halk Sağlığı Daire Başkanlığı ve Sivas Verem Savaş Dispanseri'nden soğuk zincirine uyularak alındı. Uygulamada kullanılan BCG, en küçük dozu insan dozuna göre ayarlanarak artan dozlarda verildi. Kontrol grubundaki farelere serbest piyasadan elde edilen En İlaçları Laboratuarına ait sodyum klorürün % 0.9 izotonik sudaki solüsyonu (Vakumlu ENSET - Serum<sup>R</sup>) kullanıldı.

Çalışmaya 19 dişi, 31 erkek olmak üzere 50 fare ile başlandı. Fareler, rastgele 5 gruba ayrılarak deney yürütüldü. Bu gruplarda;

KONTROL GRUBU: (5 dişi, 5 erkek): 0.05 ml.  
sodyum klorürün % 0.09 izotonik  
sudaki solüsyonu,

A GRUBU: (3 dişi, 7 erkek): 0.05 ml. (50.000 canlı jerm) / fare BCG,

B GRUBU: (3 dişi, 7 erkek): 0.1 ml. (100.000 canlı jerm) / fare BCG,

C GRUBU: (3 dişi, 7 erkek): 0.2 ml. (200.000 canlı jerm) / fare BCG,

D GRUBU: (4 dişi, 6 erkek): 0.4 ml. (400.000 canlı jerm) / fare BCG,

steril tüberkülin enjektörü ile intraperitoneal (IP) olarak verildi.

Tüm farelerde gözlem süresi 6 hafta olarak belirlendi. Gözlem süresi içinde ölen 6 fareye (A grubundan bir, B grubundan iki, C grubundan iki, D grubundan bir) hemen otopsi yapıldı. 6 hafta gözlem süresince yaşayan fareler, gözlem süresi sonunda servikal dislokasyonla öldürülerek otopsileri yapıldı.

Farelerin akciğer ve karaciğerleri makroskopik olarak incelenerek gözlenen patolojik değişiklikler kaydedildi.

İncelenen akciğer ve karaciğer dokuları % 99.5' luk etil alkolde tespit edildi. Tespite alınan akciğer dokularından hazırlanan parafin bloklardan 4'er adet 5 mikron kalınlığında ince kesitler yapıldı. Hazırlanan kesitler Hematoksilen - Eozin (H - E), bakteri için Gram, tüberküloz basili için Ziehl Neelson boyaları ile boyanarak ışık mikroskobunda incelendi. Karaciğerden hazırlanan parafin bloklardan 6'sar adet 5 mikron kalınlığında ince kesitler yapılarak H - E, glikojen için Periodik Asid Schiff (PAS), Gomori'nin retikülüm boyası, bakteri için Gram, tüberküloz basili için Ziehl Neelson boyaları ile

boyanarak ışık mikroskobunda incelendi.

Elde edilen sonuçlara "Kruskal Wallis varyans analizi" ve "İki Yüzde Arasındaki Farkın Önemlilik 't' Testi" uygulanarak istatistiksel olarak değerlendirildi.

## BULGULAR

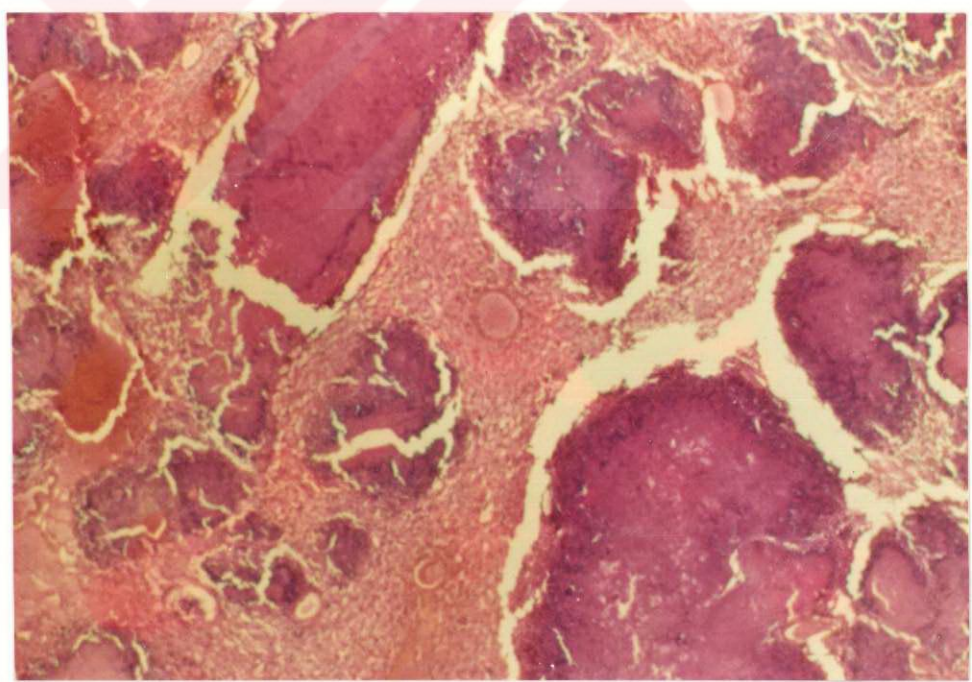
BCG'nin fare akciğer ve karaciğeri üzerindeki etkileri ve indirekt yolla TNF - $\alpha$  salınımını uyarıp uyarmadığı ve buna bağlı meydana gelebilecek değişiklikler, gözlem süresi içinde ölenler ve gözlem süresi sonunda öldürülenler esas olmak üzere iki aşamada değerlendirildi.

Gözlem süresince A grubundan bir, B grubundan üç, C grubundan iki, D grubundan iki olmak üzere toplam sekiz fare öldü. Gözlem süresince A, C ve D grubundaki ölüm oranı kontrol grubu karşılaştırıldığında aradaki fark istatistiksel olarak önemsiz ( $p > 0,05$ ) bulundu. Kontrol grubu ile B grubu arasındaki farklılık ise, istatistiksel incelemede oran değer değişikliğine bağlı olarak önemli bulundu ( $p > 0,05$  ve  $p < 0,10$ ).

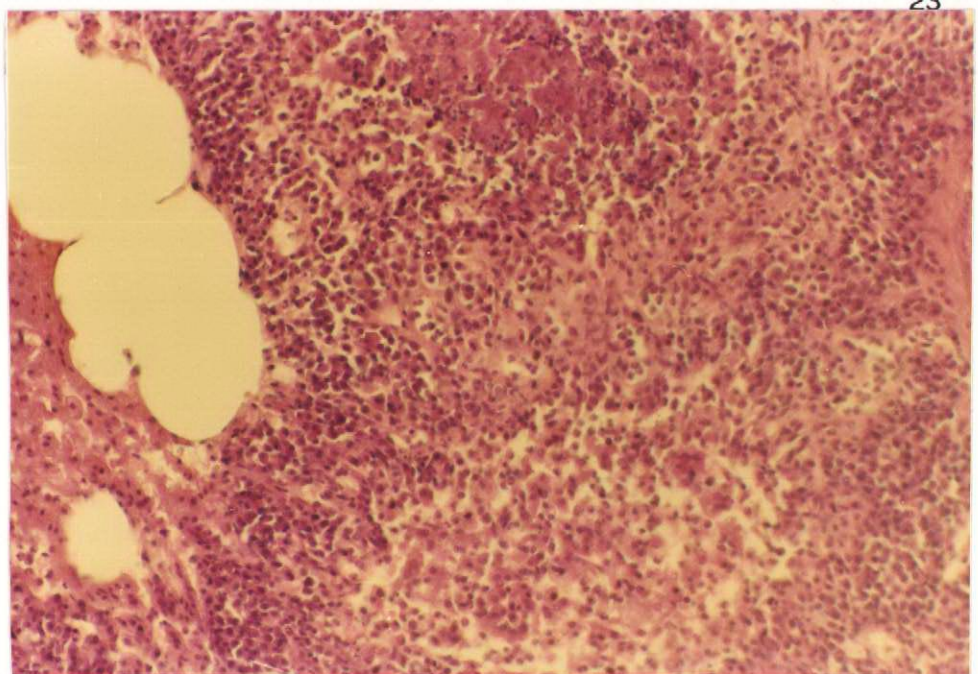
A grubundan, gözlemin on altinci günü ölen farenin yapılan otropsisinde makroskopik olarak her iki akciğerde, çapları 1-2 mm arasında değişen beyaz - sarı renkli milier lezyonlar izlendi (Şekil 4 - a). Bu lezyonların histopatolojik incelemesinde, santralde yer yer kalsifikasyon gösteren geniş kazeifikasyon nekrozu bulunan, çevrede epiteloid histiositlerin yer aldığı çok sayıda birbirleriyle kaynaşmış granülomlar izlendi. Bu granülomların bazlarında Lághans tipi dev hücre ve lenfositler tespit edildi (Şekil 4-b, 4-c). Yapılan Ziehl Neelson boyası ile aside dirençli bakteri (ARB) saptanmadı.



**Şekil 4-a:** A grubundan bir farenin akciğerlerinde izlenen milier lezyonların makroskopik görünümü.



**Şekil 4-b:** Şekil 4-a'daki farenin akciğer dokusunda hiperemik damar yapıları arasında yer alan santral kazeifikasyon nekrozu içeren tüberküllolar (H-E, x 40).



**Şekil 4-c:** Şekil 4-a'daki farenin akciğer dokusunun normal yapısını ortadan kaldırın, santral kazeifikasyon nekrozu çevresinde epiteloid histiositler, lenfositlerin yeraldığı tüberküلومalar (H - E, x 100).

Aynı farenin karaciğeri büyük ve 7 gram ağırlığında idi. Makroskopik incelemesinde herhangi bir patoloji izlenmedi. Histopatolojik incelemede konjesyonel santral ven çevresinde normal lobül yapısının korunduğu, hepatositlerde bulanık şişme ve bu alanlarda sinuzoidlerin kapandığı dikkati çekti. Yapılan PAS boyası ile glikojen miktarında azalma olduğu izlendi. Sinuzoidlerde yer alan Kupffer hücreleri fuziform şekilde idi. Nükleer pleomorfizm, anizokaryoz belirgin olup, nükleuslar iri ve hiperkromatikti. Genellikle  $Z_2$ 'de yer alan lenfositler ve seyrek plazma hücrelerinin yer aldığı fokal nekroz alanları görüldü. Portal alanlar normal görünümde idi.

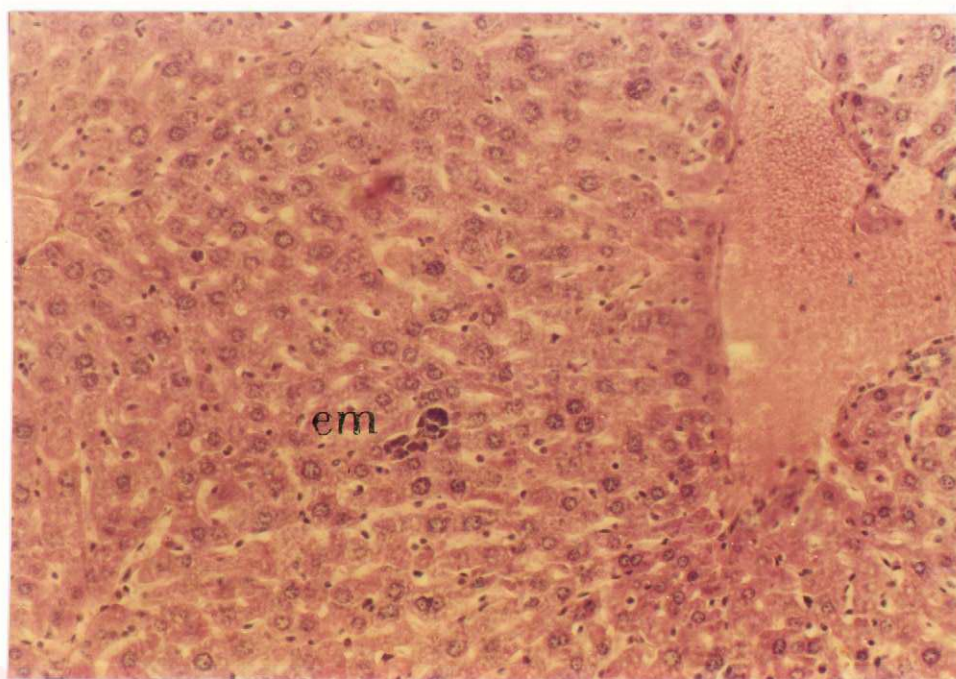
Deney grupları içinde B grubundan, deneyin beşinci, altıncı ve on birinci günlerinde olmak üzere üç fare öldü. Beşinci günde ölen farenin kafesteki diğer fareler tarafından parçalanması nedeniyle organlarındaki morfolojik değişiklikler değerlendirilemedi. Altıncı ve on birinci günlerde ölen farelerin yapılan otopsilerinde akciğerlerinin her ikisinin de açık sarı pembe renkli olduğu izlendi. Histopatolojik incelemelerinde hiperemik damarlar içeren akciğer dokusunda, bazı alveol boşlukları ve interalveolar septalar içinde PMNL'ler ve seyrek lenfositlerin yer aldığı yanmış reaksiyon dikkati çekti.

Aynı farelerin karaciğerleri 5 gram ve 6 gram ağırlığında olup koyu kahverenkli idi. Histopatolojik incelemelerinde, konjesyone santral ven çevresinde lobül yapısının korunduğu, hepatositlerde bulanık şişme ve bu alanlarda sinuzoidlerde daralma olduğu izlendi. PAS boyası ile glikojende azalma saptandı. Nükleer kromatin kaba veziküler görünümde olup, altıncı gün ölen farede nükleer membranları genellikle girintili çıkışlı idi. Belirgin anizokaryoz saptandı. Kupffer hücre hiperplazisi belirdindi. Nükleusların ise genellikle oval ya da yuvarlak ve fuziform olduğu saptandı. On birinci gün ölen farede Z<sub>2</sub>'de belirgin olmak üzere Z<sub>1</sub> ve Z<sub>3</sub>'de de görülen küçük fokal nekroz odakları izlendi. Portal alanlarda konjesyone ven yanısıra an birinci gün ölen farede birkaç alanda safra duktuslarının prolifere olduğu saptandı.

C grubundan on ikinci ve on sekizinci gün ölen farelerin yapılan otopsilerinde, akciğerleri her ikisinde de açık sarı pembe renkliydi. Histopatolojik

incelemelerinde her ikisinde de hiperemik damarlar gözlendi. On sekizinci gün ölen fare de ise interalveolar septada serbest kanama alanları ile epiteloid histiositlerin yer aldığı birkaç adet nekrozu olmayan granülom dikkati çekti.

Aynı farelerin karaciğerleri 5'er gram ağırlığında olup koyu kahverenkli idi. Histopatolojik incelemelerinde konjesyonel santral ven çevresinde lobül yapısının korunmuş olduğu, hepatositlerde bulanık şişme ve bu alanlarda sinüzoidlerde daralma saptandı. PAS boyası ile glikojen içeriğinde azalma görüldü. Nükleuslar iri olup, on ikinci gün ölen farede kromatin ağı kaba, veziküle görünümdedeydi. On sekizinci gün ölen farede ise hepatosit nükleuslarının hiperkromatik olduğu görüldü. Kupffer hücrelerinde belirgin hiperplazi yanısıra nükleuslarının yuvarlak veya fuziform görünümde olduğu saptandı. On ikinci gün ölen farede disse aralığında hiperkromatik nükleuslu dar sitoplazmali hücreler ve megakaryositlerin yer aldığı ekstramedüller hemopoëzis odakları saptandı (Şekil 5). On sekizinci gün ölen farenin sinüzoidlerinde ise eritrositler görüldü. Fokal nekroz on ikinci gün ölen farede  $Z_1$  ve  $Z_2$ 'de daha fazla olmak üzere, on sekizinci gün ölen farede her üç zonda da küçük lenfosit topluluklarının oluşturdukları odaklar tarzında izlendi. On ikinci gün ölen farede gümüşleme boyası ile retikülin ağında artış saptandı. Portal alanlarda yer alan venlerde konjesyon, on ikinci gün ölen farede bazı portal alanlarda ödem, her iki farede de safra duktusu çevresinde mononükleer hücreler görüldü.



**Şekil 5:** Karaciğer dokusunda v. centraliste konjesyon, Kupffer hücre hiperplazisi, disse aralığında iri hiperkromatik nükleuslu, mononükleer hücreler ile megakaryositlerin yer aldığı ekstramedüller hemopoezis (em) odağı (H - E x 40).

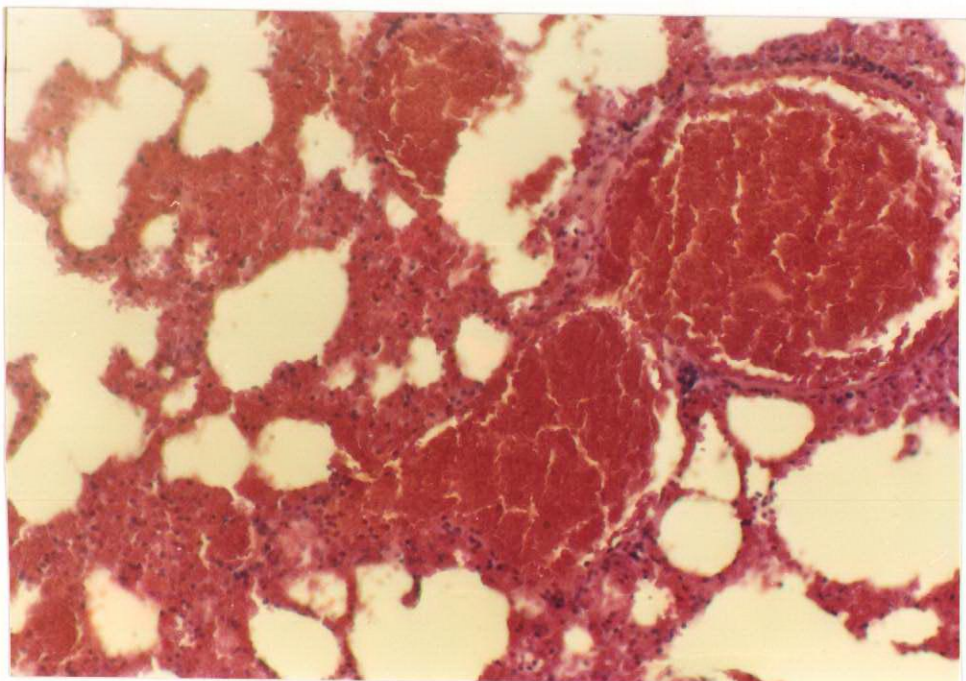
D grubundan on dördüncü ve yirmi ikinci gün ölen farelerden, on dördüncü gün ölen farenin kafesteki diğer fareler tarafından parçalanması nedeniyle organlardaki morfolojik değişiklikler değerlendirilemedi. Yirmi ikinci gün ölen farenin sağ akciğerinin dış yüzünde iki milimetre çapında pembe beyaz renkli lezyon izlendi. Bu lezyonların histopatolojik incelemesinde interalveolar septada serbest kanama alanları, hiperemik damarlar arasında, lenfositlerden zengin mononükleer hücrelerin yer aldığı yanısal reaksiyon izlendi.

Aynı farenin karaciğeri 6 gram ağırlığında olup gri kahverenkliydi. Histopatolojik incelemede normal lobül yapısının korunduğu karaciğer dokusunda hepatositlerde bulanık şişme, santral vende konjesyon ve PAS boyası ile glikojen içeriğinde azalma görüldü. Nükleuslar iri olup anizokaryoz belirgindi. Nükleusların yuvarlak ve fuziform olduğu Kupffer hücrelerinde hiperplazi saptandı. Fokal nekroz odakları  $Z_3$ 'de belirgin olmak üzere her üç zonda da izlendi. Gümüşleme boyası ile retikülinliğinde artış saptandı. Portal alanda venlerde konjesyon, safra kanaliküllerinde proliferasyon ve kanalikül çevresinde minimal mononükleer hücreler izlendi.

Kontrol grubu ve deney gruplarında yer alan farelerde gözlem süresi sonunda öldürülenlerin akciğer dokusunda meydana gelen histopatolojik değişiklikler, hiperemi, serbest kanama alanları, yangısal reaksiyonun varlığı, lokalizasyonu ve tipi yönünden incelenerek değerlendirildi. Bu değerlendirme sonucu elde edilen veriler Tablo 1'de gösterilmiştir.

Buna göre hiperemi, kontrol ve deney grupları olmak üzere farelerin hepsinde saptadığımız bir bulgu idi (Şekil 6).

Serbest kanama yönünden incelendiğinde; kontrol grubunu oluşturan farelerin 1 (% 10) tanesinde A grubundaki farelerin 3 (% 30) tanesinde, B grubunda yer alan farelerin 2 (% 22,3) tanesinde, C grubunda yer alan farelerin biri gözlem süresi içinde ölen farelerden olmak üzere 3 (% 30) tanesinde, D grubunda yer alan farelerin 3 (% 33,4) tanesinde bu değişiklik gözlandı. Bu bulgular ışığında aradaki farklılık istatistiksel olarak önemsiz bulundu ( $p > 0,05$ ).



**Şekil 6:** Akciğerde hiperemik damarlar ve serbest kanama alanları (H - E, x 100).

**Tablo I:** Deney ve Kontrol Gruplarına Göre Akciğerlerde İzlenen Histopatolojik Değişikliklerin Dağılımı

	Kontrol Sayı	Kontrol %	A Sayı	A %	B Sayı	B %	C Sayı	C %	D Sayı	D %
Hiperemi	10	100.0	10	100.0	9	100.0	10	100.0	9	100.0
Serbest Kanama	1	10.0	3	30.0	2	22.3	3	30.0	3	33.4
Yangısal Reaksiyon	3	30.0	3	30.0	2	22.3	4	40.0	8	88.9
<sup>*</sup> GYR	-	0.0	1	10.0	-	0.0	1	10.0	-	0.0

(\*) Granülomatöz Yangısal Reaksiyon

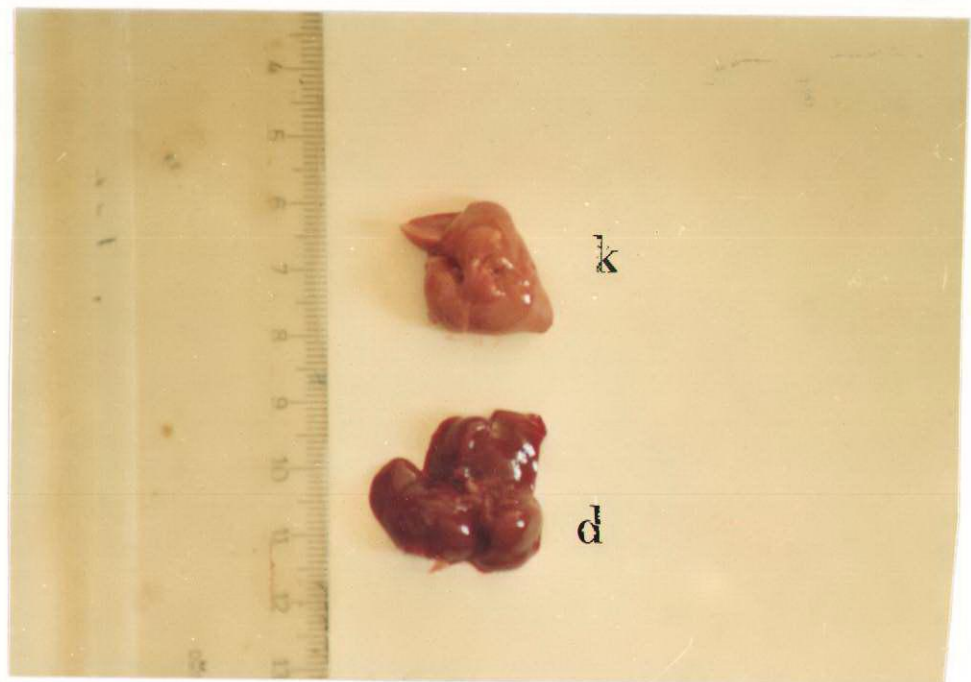
Yangısal reaksiyonun tipi ve lokalizasyonu bakımından incelendiğinde, kontrol grubunu oluşturan farelerin 3 (% 30) tanesinde alveol boşlukları içinde dağılmış seyrek PMNL'ler ve bunların 2 (% 20) tanesinde ayrıca perivasküler alanda yoğunlaşan, PMNL ve lenfositlerin yer aldığı yangısal reaksiyon izlendi. A grubunda 1 (% 10) tanesi gözlem süresi içinde ölen farede olmak üzere kronik granüloomatöz yangısal reaksiyon izlendi. Aynı grupta yer alan farelerin 3 (% 30) tanesinde alveoller içinde ve interalveoler septada belirgin PMNL'ler izlendi. B grubunda 2 (% 22,3) tane, her ikisi de gözlem süresi içinde ölen farenin bazı alveol boşlukları içinde ve interalveolar septada PMNL'ler ve seyrek lenfositlerin yer aldığı yangısal reaksiyon dikkati çekti. C grubunda 4 (% 40) tanesinde alveol boşlukları içinde ve perivasküler alanda belirgin lenfositlerin izlediği yangısal reaksiyon; ayrıca gözlem süresi içinde ölen 1 (% 10) tanesinde epiteloid histiositler ve lenfositlerden oluşan nekrosuz granüloomatöz yangısal reaksiyon izlendi. D grubunda biri gözlem süresi içinde ölen 8 (% 88,9) tanesinde perivasküler alanda belirgin lenfositler, plazma hücreleri, histiositler ve seyrek PMNL'lerden oluşan yangısal reaksiyon görüldü. Yangısal reaksiyon bakımından kontrol grubu ile D grubu arasındaki karşılaştırmada istatistiksel olarak anlamlı düzeyde artış olduğu ( $t: 2,27$ ;  $p < 0,05$ ) saptandı. Kontrol grubu ile A, B, C grupları arasındaki farklılık ise önemsiz ( $p > 0,05$ ) bulundu. Granüloomatöz yangısal reaksiyon bakımından da farklılık önemsizdi ( $p > 0,05$ ).

Kontrol grubu ve deney gruplarında yer alan farelerin karaciğer dokusundaki makroskopik özellikler

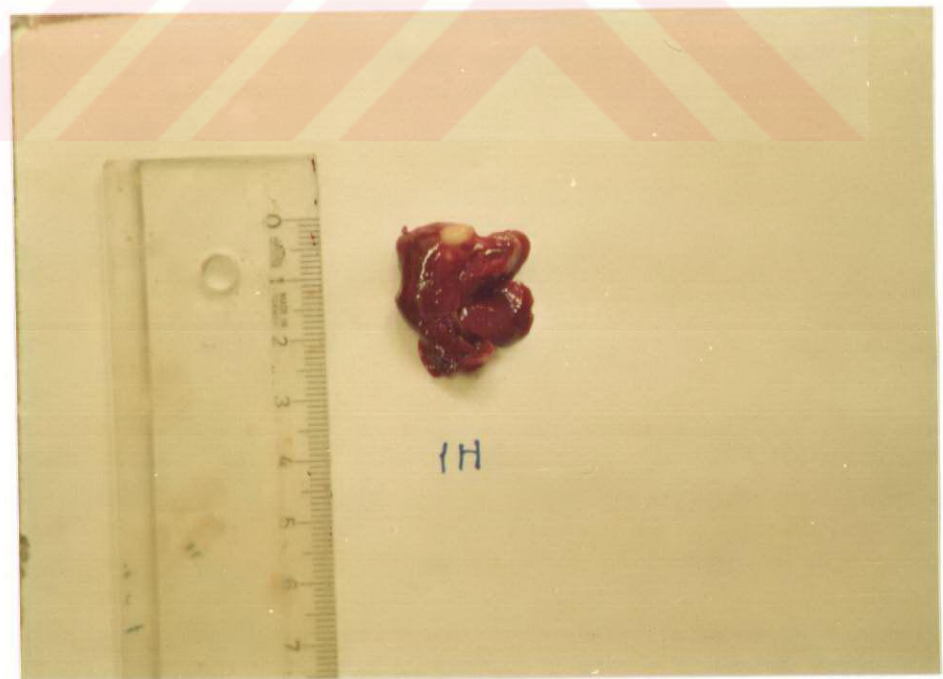
ağırlık ve renk bakımından değerlendirildi. Buna göre, kontrol grubundaki farelerin karaciğerlerinin ağırlıkları 5 - 6 gram (Ort: 5,3 gram) idi. A grubundaki farelerin karaciğerlerinin ağırlıkları 4 - 7 gram (Ort: 6 gram), B grubundaki farelerin karaciğerlerinin ağırlıkları 5 - 6 gram (Ort: 5,6 gram), C grubundaki farelerin karaciğer ağırlıkları 5 - 7 gram (Ort: 5,6 gram), D grubundakilerde ise 5 - 7 gram (Ort: 5,8 gram) bulundu. Buna göre, gruplardaki farelerin karaciğerlerinin ağırlıkları bakımından aradaki farklılık istatistiksel olarak önemsiz bulundu ( $KW: 2,156; p > 0,01$ ).

Renk bakımından incelendiğinde, kontrol grubundaki farelerin karaciğerleri açık kahverenkli idi (Şekil 7). A grubunda 1 (% 10) farenin karaciğerinde 0,5 cm. çapında beyaz - sarı renkli iyi sınırlı lezyon dışında diğer farelerinki koyu kahverenkliydi (Şekil 8a). B, C, D grubundaki farelerin karaciğerlerinin de koyu kahverenkli olduğu dikkati çekti (Şekil 7).

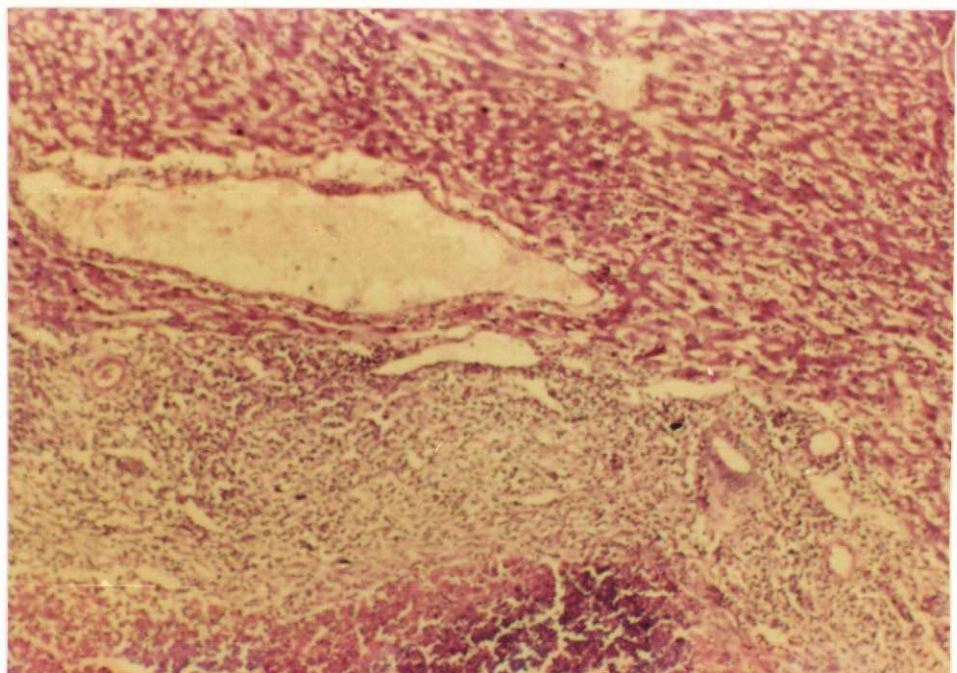
Kontrol ve deney gruplarında yer alan farelerin karaciğer dokuları parankim ve portal alanda meydana gelen histopatolojik değişiklikler gözönüne alınarak değerlendirildi. Buna göre, parankim hücrelerinde oluşan histopatolojik değişiklikler dejenerasyon, madde birikimleri, hepatositlerin glikojen içeriğinde meydana gelen değişiklikler, nükleer pleomorfizm, nekroz, Kupffer hücrelerinde görülen sayısal ve morfolojik farklılıklar ile konjesyon, yangısal reaksiyon, bakteri, ARB görülebilme yönünden bakteri ve ARB boyaları ile boyanarak ışık mikroskopu ile incelenip değerlendirildi. Bu değerlendirme sonucu elde edilen veriler Tablo II'de gösterildi.



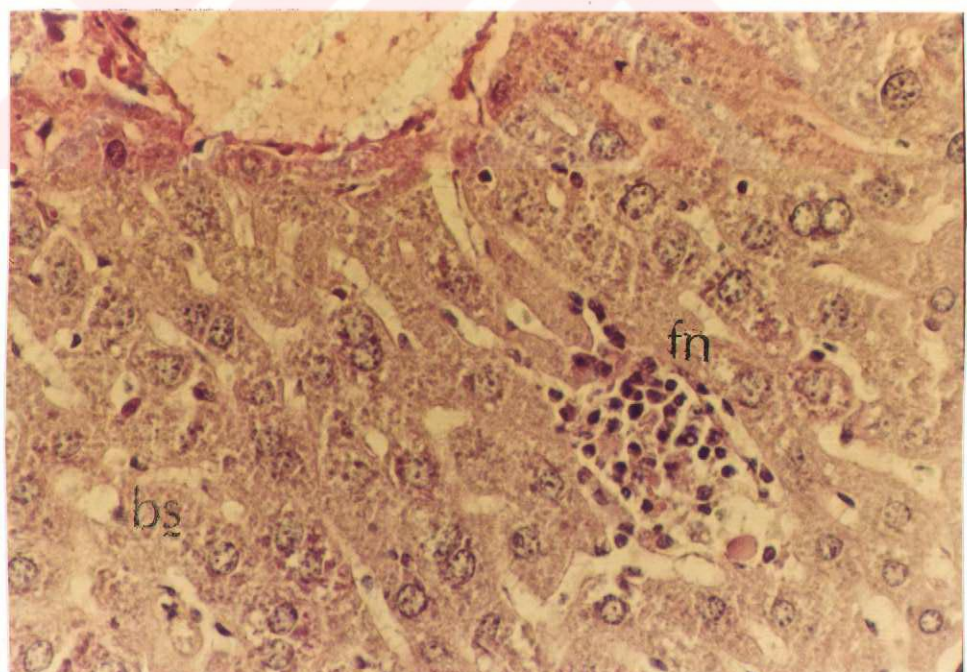
**Şekil 7:** Kontrol (k) ve deney gruplarındaki (d) farelerin karaciğerlerinin makroskopik görünümleri.



**Şekil 8a:** A grubundaki bir farenin karaciğerindeki abse odağının makroskopik görünü.



**Şekil 8b:** Şekil 8a'daki farede karaciğer dokusundan belirgin fibröz bağ dokusuyla ayrılan yanısal reaksiyon, santralde bol PMNL ve nekrotik hücre artıklarının



**Şekil 9:** Kaldırım taşı manzarası gösteren hepatositlerin oluşturduğu bulanık şişme (bs) alanları ve lenfositler, seyrek PMNL'lerin yer aldığı fokal nekroz (fn) odağı (H - E, x 100).

**Tablo 11:** Kontrol ve Değişik Dozlarda BCG Uygulanan Farelerde Karaciğer Parenkiminde Görülen Histopatolojik Değişikliklerin Dağılımı.

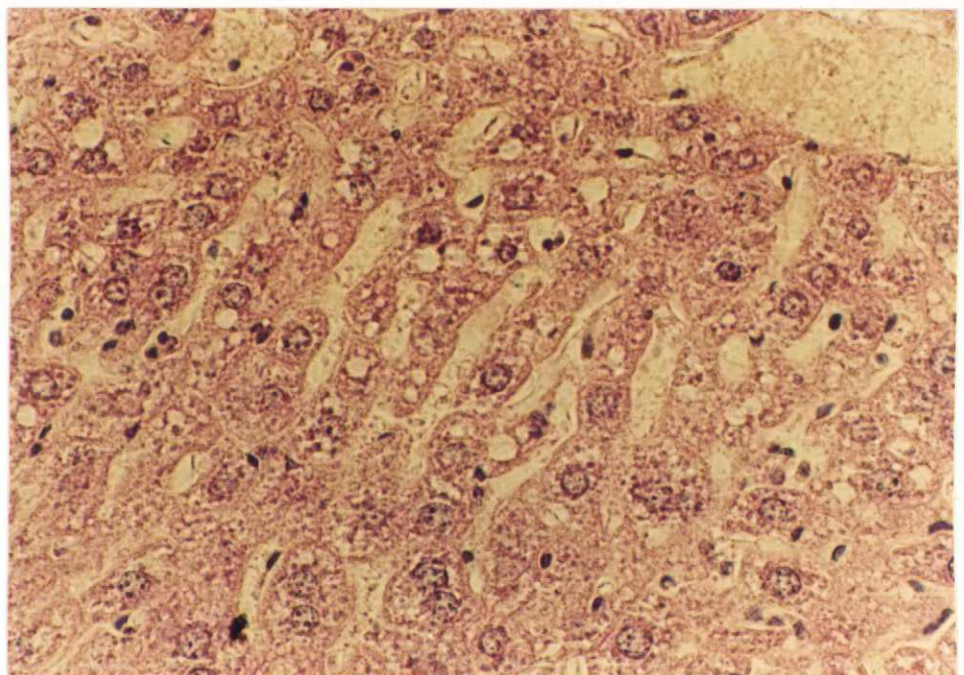
	Kontrol		A		B		C		D	
	Sayı	%	Sayı	%	Sayı	%	Sayı	%	Sayı	%
<b>Bulanık Şişme</b>	10	100.0	10	100.0	9	100.0	10	100.0	9	100.0
<b>Vakuol. Dejenerasyon</b>	1	10.0	-	0.0	4	44.5	4	40.0	1	11.2
<b>Yağlanması</b>	3	30.0	1	10.0	-	0.0	-	0.0	1	11.2
<b>Safra Pigmenti</b>	2	20.0	-	0.0	-	0.0	-	0.0	-	0.0
<b>Hemosiderin</b>	1	10.0	1	10.0	-	0.0	-	0.0	1	11.2
<b>Glikojende Azalma</b>	-	0.0	3	30.0	4	44.5	3	30.0	2	22.3
<b>Nukleer Pleomorfizm</b>	10	100.0	10	100.0	9	100.0	10	100.0	9	100.0
<b>Fokal Nekroz</b>	10	100.0	10	100.0	8	88.9	10	100.0	9	100.0
<b>Tek Hücre Nekrozu</b>	5	50.0	4	40.0	5	55.6	4	40.0	2	22.3
<b>Kupffer Hic. Hiperpl.</b>	10	100.0	9	90.0	9	100.0	10	100.0	9	100.0
<b>Kupffer Hic. Morf. Farklığı</b>	10	100.0	10	100.0	9	100.0	10	100.0	9	100.0
<b>V. centraliste Konjesyon</b>	10	100.0	10	100.0	9	100.0	10	100.0	9	100.0
<b>Bakteri</b>	-	0.0	-	0.0	-	0.0	-	0.0	-	0.0
<b>Abse</b>	-	0.0	1	10.0	-	0.0	-	0.0	-	0.0
<b>Basil</b>	-	0.0	-	0.0	-	0.0	-	0.0	-	0.0
<b>Graniülom</b>	-	0.0	1	10.0	-	0.0	1	11.2	-	0.0
<b>Ekstramediller Hemopoezis</b>	3	30.0	2	20.0	2	22.3	3	30.0	2	22.3

Hepatositlerde meydana gelen dejeneratif değişikliklerden bulanık şişme, kontrol grubu ve deney grubundaki farelerin gözlem süresi içinde ölenler de dahil olmak üzere hepsinde görülen bir bulgu idi (Şekil 9). Bu nedenle kontrol grubu ile deney grupları arasında istatistiksel olarak bir farklılık bulunmadı ( $p > 0,05$ ).

Vakuoler dejenerasyon, kontrol grubunda 1 (% 10) farede izlendi. A grubundaki farelerde vakuoler dejenerasyon görülmedi. B grubundaki farelerin 4 (% 44,5), C grubundaki farelerin 4 (% 40) tanesinde, D grubundaki farelerin ise 1 (% 11,2) tanesinde saptandı. Bu oranlar dikkate alındığında kontrol grubu ile A ve D grubu arasındaki farklılık istatistiksel olarak önemsiz ( $p > 0,05$ ) bulundu. Kontrol grubu ile B ve C grubu karşılaştırıldığında aradaki farklılık önemsiz ( $t: 1,75; p > 0,05$ ) olmasına rağmen; oran değer değişikliğine bağlı olarak önemli bulundu ( $p < 0,10$ ).

Hepatositlerde yağlı dejenerasyon görülmeye oranları incelendiğinde, kontrol grubunda 3 (% 30) (Şekil 10), A grubunda 1 (% 10), D grubunda 1 (% 11,2) farede gözlendi. B ve C grubunda yer alan farelerin hiçbirinde yağlanması saptanmadı. Buna göre yağlı dejenerasyon görülmeye oranı bakımından BCG dozları ile kontrol grubu arasında farklılık bulunamadı ( $p > 0,05$ ).

Hepatositlerde safra pigmenti yönünden inceleme yapıldığında sadece kontrol grubundaki 2 (% 20) farede saptandı. Bunlardan birinde  $Z_1$ 'de, diğerinde ise  $Z_2$ 'de yer alan hepatositlerde açık sarı granüller şeklinde izlendi. Deney gruplarındaki fare karaciğerlerinin hiçbirinde pigment birimi saptanmadı. Oranlar karşılaştırıldığında kontrol ve deney grupları arasında istatistiksel olarak anlamlı bir farklılık bulunamadı ( $p > 0,05$ ).



**Şekil 10:** İntrasitoplazmik mikroveziküler yağlı dejenerasyon gösteren hepatositlerin yer aldığı karaciğer dokusu (H - E,  $\times 100$ ).

Hemosiderin pigmenti bakımından inceleme yapıldığında kontrol grubunda 1 (% 10) farede  $Z_3$ 'de hemosiderin pigmenti izlendi. A grubunda ise 1 (% 10) farede her üç zonda, D grubunda da 1 (% 11.2) farede  $Z_3$ 'de saptandı. B ve C grubundaki farelerin hiçbirinde hemosiderin pigmentine rastlanmadı. Bu farklılık istatistiksel olarak önemsizdi ( $p > 0,05$ ).

Hepatositlerin glikojen içeriğinde azalma olup olmadığı PAS boyası ile değerlendirildi. Kontrol grubunda hiç bir farede glikojende azalma saptanmadı. A grubunda biri gözlem süresi içinde ölen fare olmak üzere 3 (% 30), B grubunda ikisi gözlem süresi içinde ölen fareler olmak üzere 4 (% 44,5), C grubunda ikisi gözlem süresi içinde ölen fareler olmak üzere 3 (% 30),

D grubunda biri gözlem süresi içinde ölen fare olmak üzere 2 (% 22,3) farede glikojen içeriğinde azalma gözlendi. Bu azalmanın lobülüsün bütün alanlarında eşit olarak dağıldığı gözlendi. Kontrol grubu ile A ve C grubu karşılaşıldığında aradaki farklılık istatistiksel olarak önemsiz ( $t: 2; p > 0,05$ ) olmasına rağmen oran değer değişikliğine bağlı olarak ( $p < 0,10$ ) önemli bulundu. B grubu ile kontrol grubu arasındaki farklılık önemli bulundu ( $t: 2,5; p < 0,05$ ). D grubu ile olan farklılık önemsizdi ( $p > 0,05$ ).

Nükleer pleomorfizm, kontrol ve deney gruppalarında her farede izlendi. Ancak pleomorfizmin derecesine göre kontrol ve deney grupları arasında belirgin farklılık dikkati çekti.

Hepatosit nükleuslarında görülen pleomorfizmin derecesi, nükleer kromatinde kabalaşma, nükleer membrana yakınlaşma (+) nükleus bazofilisinde azalma, anizokaryoz, nükleer membranın irregüler olması ve piknoz (++) şeklinde kalitatif olarak sınıflandırıldı (Tablo III).

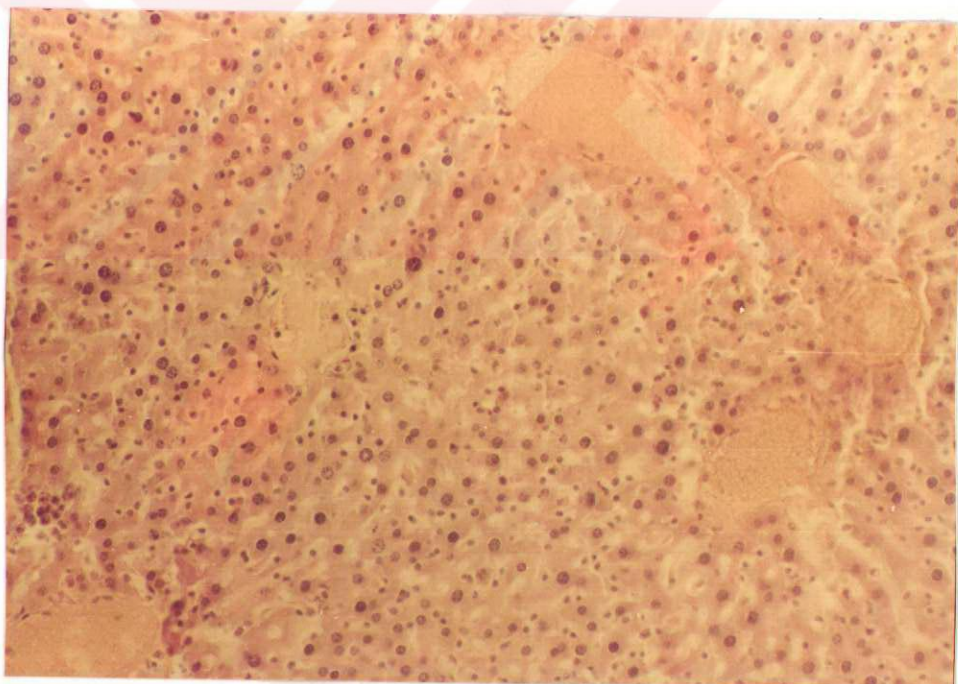
**Tablo III:** Hepatositlerdeki Nükleer Pleomorfizmin Kontrol ve Deney Gruplarına Göre Dalımı.

	Kontrol Sayı	Kontrol %	A Sayı	A %	B Sayı	B %	C Sayı	C %	D Sayı	D %
Pleomorfizm (+)	10	100.0	8	80.0	5	55.6	6	60	8	88.9
Pleomorfizm (++)	-	0.0	2	20.0	4	44.4	4	40	1	11.1

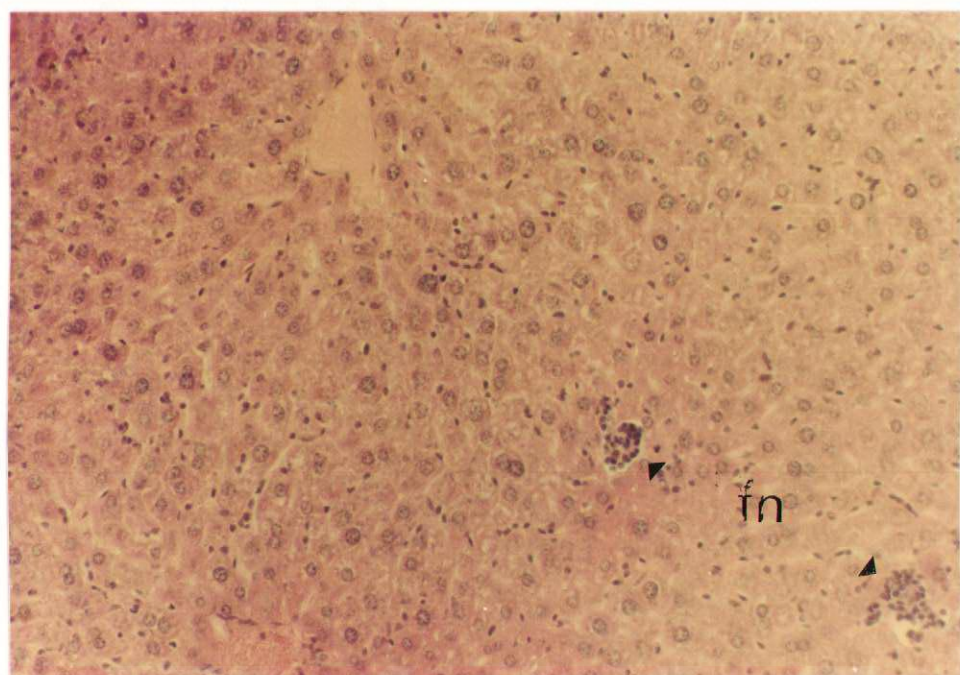
(+) : Kromatinde kabalaşma, nükleer membrana yakınlaşma

(++) : Kromatinde azalma, piknoz, nükleer membranın irregüler olması

Buna göre nükleer kromatinde kabalaşma, nükleer membrana yakınlaşma kontrol grubunda 10 (% 100) farede, A grubunda 8 (% 80) farede, B grubunda 5 (% 55,6) farede, C grubunda 6 (% 60) farede, D grubunda 8 (% 88,9) farede izlendi. Nükleer pleomorfizm (++)'lik kontrol grubunda hiç bir farede izlenmedi. A grubunda 2 (% 20), B grubunda 4 (44,4), C grubunda 4 (% 40), D grubunda 1 (% 11,1) farede saptandı (Şekil 11, 12). Kontrol grubu ile A ve D grubu arasındaki farklılık istatistiksel olarak önemsiz ( $p > 0,05$ ) olmasına rağmen, B grubu ( $t: 2,5$ ;  $p < 0,05$ ) ve C grubundaki oranlar ( $t: 2,35$ ;  $p < 0,05$ ) önemli bulundu.



**Şekil 11:** V. centraliste konjesyon, Kupffer hücre hiperplazisi ve belirgin büyüklük farkı gösteren nükleuslara sahip hepatositlerin yeraldığı karaciğer dokusu (H - E, x 40).



**Şekil 12:**  $Z_2$ 'de lenfositler, seyrek PMNL'lerin yeraldığı fokal nekroz (fn), belirgin şekil ve büyülüklük farkı gösteren nükleuslara sahip hepatositler ve Kupffer hücre hiperplazisinin yeraldığı karaciğer dokusu (H - E, x 100).

Karaciğer dokusunda izlenen nekrozlar tek hücre nekrozu ve fokal nekroz yönünden değerlendirildi. Fokal nekroz kontrol grubunda 10 (% 100) farede, A grubunda 10 (% 100) farede, B grubunda 8 (% 88,9) farede, C grubunda 10 (% 100), D grubunda 9 (% 100) farede izlendi. Deney gruplarındaki fokal nekrozinin  $Z_2$ 'de daha fazla olmak üzere  $Z_1$  ve  $Z_3$ 'de yeraldığı görüldü (Şekil 9, 12). Kontrol grubundaki fokal nekrozin ise az sayıda olup belirgin bir zonal dağılım göstermediği dikkati çekti. Fokal nekroz kontrol grubu, A, C ve D gruplarındaki farelerin hepsinde; B grubundaki farelerin 8 (% 88,9)'inde saptandı.

Buna göre aradaki farklılık önemsizdi ( $p > 0,05$ ). Ancak, fokal nekrozun kontrol grubu ile deney gruplarındaki dağılımını yönünden aradaki farklılık önemliydi ( $p > 0,05$ ).

Tek hücre nekrozu kontrol grubunda 5 (% 50), A grubunda 4 (% 40), B grubunda 5 (% 55,6), C grubunda 4 (% 40), D grubunda 2 (% 22,3) farede saptandı. Buna göre, aradaki farklılık önemsizdi ( $p > 0,05$ ).

Kupffer hücre değişiklikleri, hiperplazi ve hücre morfolojisinde meydana gelen farklılıklar yönünden incelendiğinde, A grubundan gözlem süresi içinde ölen 1 (% 10) fare dışında kontrol ve deney gruplarını oluşturan farelerin tümünde Kupffer hücre hiperplazisi izlendi (Şekil 5, 11, 12).

Morfolojik açıdan değerlendirildiğinde, bütün gruptarda ve kontrol grubunda bütün farelerde oval, yuvarlak ve daha az olarak fuziform nükleuslu oldukları görüldü.

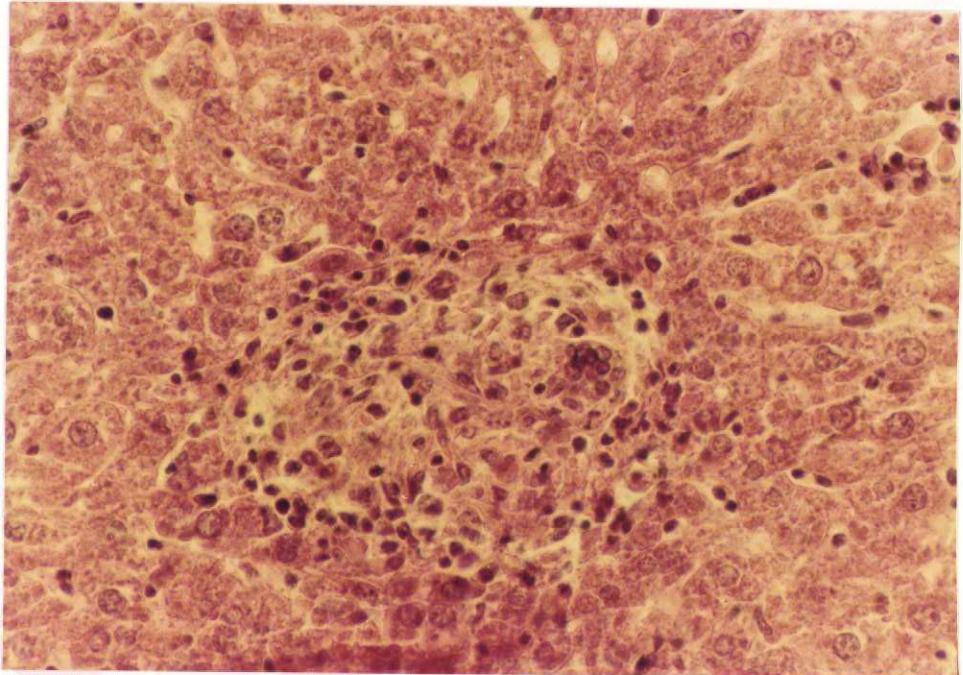
V. centraliste konjesyon, kontrol ve deney gruplarının hepsinde saptadığımız bulgu idi (Şekil 5, 11). Bakteri için Gram boyası, ARB için Ziehl Neelson boyası uygulandı. Uyguladığımız Gram boyası ile kontrol ve deney gruplarındaki hiç bir farenin akciğer ve karaciğer dokularında bakteri görülmeli. ARB için boyanan Ziehl Neelson boyası ile de kontrol ve deney gruplarındaki hiç bir farenin akciğer ve karaciğer dokularında da ARB izlenmedi.

Farelerin karaciğer dokusunda nonspesifik yanışsal reaksiyon görülme oranı incelendiğinde kontrol grubunda hiç bir farede yanışsal reaksiyon saptanmadı. A grubundan 1 (% 10) farede parankim içinde çevre

hepatositlerden fibröz bağ dokusu ile çevrelenmiş santralde nekrotik hücre artıkları içeren bol PMNL'lerin yer aldığı iki adet abse odağı izlendi (Şekil 8b). B, C, D grubundan hiçbir farede nonspesifik yangısal reaksiyon izlenmedi. Yalnız bir farede saptanan absenin kontrol grubu ile arasındaki farklılık önemsizdi ( $p > 0,05$ ).

Farelerin karaciğerleri kronik granülomatöz yangısal reaksiyon bakımından incelendiğinde kontrol grubu, B ve D gruplarında hiçbir farede granülom saptanmadı. A grubundan gözlem süresi sonunda öldürülen farelerden 1 (% 10) tanesinde, C grubundan gözlem süresi içinde ölen 1 (% 10) tanesinde lobülüs içinde her üç zonda da yer alan epiteloid histiositler, Langhans tipi dev hücreleri ve seyrek lenfositlerin oluşturduğu nekrozu bulunmayan küçük tüberkülomlar görüldü (Şekil 13). Kronik granülomatöz yangısal reaksiyon bakımından kontrol grubu ve deney grupları arasındaki farklılık önemsizdi ( $p > 0,05$ ).

Deney gruplarındaki ve kontrol grubundaki farelerin bir kısmında ekstramedüller hemopoezis saptandı. Bu alanlar lobülüsun içinde, disse aralığında yer alan iri hiperkromatik nükleuslu, dar sitoplazmali mononükleer hücre toplulukları şeklinde izlendi (Şekil 5). Bunların dağılımı kontrol grubunda 3 (% 30), A grubunda 2 (% 20), B grubunda 2 (% 22,3), C grubunda biri gözlem süresi içinde ölen 3 (% 30), D grubunda 2 (% 22,3) farede izlendi. Bu oranlar kontrol grubu ile deney grupları karşılaştırıldığında önemsiz bulundu ( $p > 0,05$ ).



**Şekil 13:** Çevrede bulanık şişme gösteren hepatositler ile epiteloid histiosit, Langhans tipi dev hücre ve lenfositlerin yer aldığı, nekrozu olmayan kronik granülomatöz yangışal reaksiyonun izlendiği karaciğer dokusu (H - E, x 100).

Portal alanlarda mononükleer hücreler dışında konjesyon ve duktal dilatasyon izlendi. Bunların kontrol ve deney gruplarına göre dağılımı Tablo IV'de gösterilmiştir.

**Tablo IV:** Kontrol ve Değişik Dozlarda BCG Uygulanan Farelerde Karaciğerde Portal Alanda Görülen Histopatolojik Değişikliklerin Dağılımı

	Kontrol Sayı	Kontrol %	A Sayı	A %	B Sayı	B %	C Sayı	C %	D Sayı	D %
<b>Konjesyon</b>	9	90.0	8	80.0	9	100.0	9	90.0	9	100.0
<b>Duktal Dilatasyon</b>	3	30.0	-	0.0	2	22.3	-	0.0	1	11.2

Buna göre portal alanda yeralan konjesyon farelerin hemen hemen tümünde saptadığımız bulguydu. Kontrol grubunda 9 (% 90), A grubunda biri gözlem sırasında ölen fare olmak üzere 8 (% 80), B grubunda 9 (% 100), C grubunda ikisi gözlem sırasında ölen olmak üzere 9 (% 90), D grubunda 9 (% 100) farede saptandı. Bu oranlar, kontrol grubu ile deney grupları karşılaştırıldığında istatistiksel olarak aradaki farklılık önemsiz bulundu ( $p > 0,05$ ).

Duktal dilatasyon kontrol grubunda 3 (% 30), B grubunda 2 (% 22,3), D grubunda 1 (% 11,2) farede saptanırken, A ve C grubundaki farelerin hiçbirinde görülmeli. Bu oranlar gözüne alındığında aradaki farklılık istatistiksel olarak önemsiz bulundu ( $p > 0,05$ ).

## TARTIŞMA

Bu çalışmada, ağırlıkları 45-50 gram arasında değişen albino farelere BCG verilerek karaciğer ve akciğer üzerindeki morfolojik etkileri incelendi.

Bu amaç için  $5 \times 10^4$  canlı jerm,  $1 \times 10^5$  canlı jerm  $2 \times 10^5$  canlı jerm,  $4 \times 10^5$  canlı jerm içeren BCG dozları kullanıldı. TNF -  $\alpha$  'nın BCG + LPS tatbikinden sonra salgılandığının saptanması ve TNF -  $\alpha$  'nın değişen dozlarda değişik etkilerinin in vitro olarak gösterilmesi nedeniyle çalışmada, pratik uygulamada sadece BCG kullanımının sonuçları, farklı dozlardaki etkilerini ve bu etkilerin TNF -  $\alpha$  ile ilişkisi bulunup bulunmadığı araştırıldı.

Bu etkiler iki aşamada değerlendirildi. Öncelikle BCG'nin farelerin akciğer ve karaciğerleri üzerindeki enfeksiyöz ya da non - enfeksiyöz etkileri, daha sonra da elde edilen veya ortaya çıkmayan bulguların TNF -  $\alpha$  ile ilişkisi incelendi.

BCG'nin etkisi önce morfolojik olarak tüberkülomların varlığı ile takip edildi. Buna göre tüberkülomlar A grubundan gözlemin on altinci günü ölen 1 (% 10) farenin akciğerinde makroskopik olarak milier lezyonlar şeklinde saptandı.

Deney grupları içinde histopatolojik olarak tüberkülomler saptanan diğer üç farede makroskopik olarak bir lezyon görülmeli. Histopatolojik olarak görülen bu lezyonlar; C grubunda gözlemin on sekizinci gününde ölen 1 (% 10) farenin akciğerinde, altı haftalık gözlem süresi sonunda öldürülen A grubundan 1 (% 10) farenin, C grubundan 1 (% 11,2) farenin karaciğerinde görüldü.

Sonuç olarak tüberkülomların gelişmesi yönünden dozlar ve kontrol grubu arasındaki farklılık önemsiz bulundu.

Tüberkülomlar, periferde, fibröz doku ile çevrelenmiş, bunun hemen altında lenfositler, epiteloid histiositler, Langhans tipi dev hücreler ve merkezde değişen oranlarda kazeifikasyon nekrozunun yeraldığı tüberkülozdaki kronik granülomatöz yangısal reaksiyonda görülen çok sayıdaki granülomlardan oluşan lezyonlardır (33, 90). Kobay veya tavşanlarda yapılan deneysel çalışmalarında tüberkülom oluşması için geçen süre M. bovis'in IV verilmesinden sonra 2 - 3 haftadır. Yine aynı deneysel çalışmalarında tüberkülomlar meydana gelmeden önce nonspesifik reaksiyonların olduğu gösterilmiştir. Basilin IV verilmesinden sonra 12 saat içinde organlarda, özellikle akciğerlerde kapillerden PMNL emigrasyonu olur. İkinci ve üçüncü günde makrofajlar bu alana gelir. Bu makrofaşların bir kısmı Langhans tipi dev hücrelerine dönüşür. Kazeifikasyon nekrozunun 10 - 12 gün sonra mikroorganizmaya karşı gelişen hipersensivite reaksiyonu sonucunda meydana geldiği ileri sürülmektedir (90).

Tipik granülomun oluşumundan önceki evrede görülen nonspesifik histopatolojik değişiklikler spesifik tanı için yeterli değildir. Ancak çalışmada; kontrol grubundaki farelerden 3 (% 30) tanesinde akciğerlerinde alveol boşluğu içinde dağılmış seyrek PMNL'ler ve bunların 2 (% 20) tanesinde ayrıca perivasküler alanda yoğunlaşan PMNL ve lenfositlerin yer aldığı hücresel infiltrasyon izlendi.

A grubundaki altı haftalık gözlem süresi sonunda öldürulen 9 farenin 3 (% 30) tanesinde akciğerlerinde alveoller içinde ve interalveoler septada PMNL'ler izlendi.

Aynı gruptaki gözlem süresi sonunda öldürülenlerden 1 (% 10) farenin karaciğerinde iki adet abse odağı izlendi. Bu odak periferde fibröz doku ve bunun hemen altında bol miktarда PMNL ve nekrotik hücre artıklarından meydana gelmektediydi.

B grubundaki 10 fareden gözlemin altıncı ve on birinci günlerinde ölen 2 (% 22,3) farede, bazı alveol boşlukları içinde ve interalveoler septada PMNL ve seyrek lenfositlerin yer aldığı yanmış reaksiyon görüldü.

C grubundaki 10 fareden, altı haftalık gözlem süresi sonunda öldürülen 8'inin 4 (% 40)'sında alveol boşlukları içinde ve perivasküler alanda lenfositlerden zengin yanmış reaksiyon görüldü.

D grubundaki 10 fareden, gözlemin yirmi ikinci günü ölen 1 (% 11,2) tanesi, altı haftalık gözlem süresi sonunda öldürülen 8 farenin 7 (% 77,7) tanesinde olmak üzere toplam 8 (% 88,8) farenin akciğerlerinde perivasküler alanda belirgin lenfositler, plazma hücreleri, histiositler ve seyrek PMNL'lerden oluşan yanmış reaksiyon görüldü.

Tüberküлом öncesinde görülen akut, primer non-spesifik değişiklikler olarak yorumlayabileceğimiz değişiklikler gözlem süresi içinde ölen farelerde araştırıldı. Altı hafta olan gözlem süresi sonunda öldürülen farelerdeki değişiklikler bu kapsamın dışında bırakıldı. Buna göre B grubundan 2 (% 20), D grubundan 1 (% 11,2) farenin akciğerinde alveol içi ve interalveoler septada PMNL infiltrasyonu erken reaksiyonlar olarak yorumlandı.

Tüberküloz profilaksisinde kullanılan BCG'nin değişik aşısı suslarının değişik aşısı komplikasyonları bulunmaktadır (8, 51, 71-74). Bunlardan en sık görüleni aynı taraf aksiller veya supraklaviküler lenf ganglionunda aşidan 3 - 6 hafta sonra % 1 - 12 oranında gelişen basit, 2 - 12

hafta sonra % 0,1-4 oranında gelişen süpüratif lenfadenittir (8, 51, 71-74). Yaygın ama hafif görülen diğer bir komplikasyon uygulama yerinde gelişen subkutan abselerdir (51, 71-74).

Pringle ve arkadaşları lenfadenit komplikasyonun daha sık oluşmasında uygulanan aşı dozu, liyofilize aşının homojenizasyonunun yeterli yapılamaması ve kullanılan iğne ve enjektörlerin yanlış seçiminden kaynaklandığını belirtmektedirler (71).

Helmick ve arkadaşları ise bu komplikasyonun nedeninin BCG ile verilen canlı jerm sayısının miktarı (doz), aşının uygulama yolu olarak subkutan verilmesi ve kullanılan aşı suşuna bağlı meydana geldiğini belirtmektedirler (72).

Profilaksi nedeniyle uygulandığında gözlenen diğer komplikasyonlar osteomyelit, lupus vulgaris, eritema nodosum, iritis veya BCGitis oldukça nadirdir (71, 72, 74). BCGitis milyonda 0,72 oranında gelişir. Daha çok imün sistemin baskılndığı kişilerde ortaya çıkmaktadır (14, 71, 72, 75).

Mesane tümörlerinde nonspesifik aktif immünoterapide kullanıldığından kendiliğinden iyileşen hematuri, disüri gibi irritasyon semptomları ve epididimit gelişebilir. Ayrıca mesane tümörlerinde, malign melanom ve over karsinomu olgularında nadiren granülomatöz hepatit, renal granülomlar, Pott hastalığı ya da geç komplikasyon olarak 6 - 12 ay sonra BCGitis geliştiği bildirilmiştir (61, 62, 76-82).

Nonspesifik aktif immünoterapide görülen bu komplikasyonların nedeni, basılın kana karışması, dormant asite rezistan reaktivasyon ve hipersensitivite reaksiyonu olarak kabul edilmektedir (61, 62, 76-79).

Steg ve arkadaşları, Kelleher ve arkadaşları ile Monte ve arkadaşları ise BCGitis'in basilin direkt kana karışmasından meydana geldiğini ileri sürmektedirler (62, 76, 79).

Deney sonucuna göre BCG uygulanması ile farelerin birinin akciğerlerinde kazeifiye tüberküлом, diğer bir farede nonkazeifiye tüberküлом, iki ayrı farenin ise karaciğerinde nonkazeifiye tüberkülümün varlığı saptandı. Tüberküлом gelişiminin basilin IP yolla uygulama sonucu basilin direkt kana karışması ile olduğu kabul edilmektedir.

Çalışmada karaciğerde saptanan vakuoler dejenerasyon, yağlı dejenerasyon, glikojen içeriğinde azalma, fokal nekroz ve nükleer pleomorfizm gibi histopatolojik değişikliklerin görülmesi direkt basilin etkisi ile açıklanamamaktadır. Burada mediatör rol oynadığı düşünülen TNF - $\alpha$ 'nın karaciğerdeki bu değişikliklerden sorumlu olduğu düşünülmektedir.

Dejeneratif değişikliklerden biri olan vakuoler dejenerasyonun kontrol grubu ve deney gruplarında görülmeye oranları araştırıldığında kontrol grubunda 1 (% 10) farede vakuoler dejenerasyon saptanırken, A grubundaki 10 farenin hiç birinde vakuoler dejenerasyon görülmeli. Diğer gruplarda görülen vakuoler dejenerasyon gözlem süresi sonunda öldürülen farelerde izlendi. B grubunda 4 (% 44,5), C grubunda 4 (% 40), D grubunda 1 (% 11,2) farede vakuoler dejenerasyon saptandı.

Değişen dozlarda uygulanan BCG'nin deney grupları ve kontrol grubu arasındaki farklılık istatistiksel olarak değerlendirildi. Oran değer değişikliğine bağlı olarak B ve C grubu ile kontrol grubu arasında anlamlı

fark bulundu ( $t: 1,75$ ;  $p > 0,05$ ,  $p < 0,10$ ). A ve D grupları ile kontrol grubu arasındaki farklılık önemsizdi ( $p > 0,05$ ).

Buna göre vakuoler dejenerasyonun artan BCG dozları ile ilişkili bulunmayıp, B ve C grubunda ise ancak denek sayısı artırıldığında önemli olan bir bulgu olarak yorumlandı.

Diğer bir değişiklik olan yağlı dejenerasyonun kontrol grubu ve deney gruplarında görülmeye oranları araştırıldığında kontrol grubunda altı haftalık gözlem süresi sonunda öldürülen farelerin 3 (% 30) tanesinde yağlı dejenerasyon saptanırken, bunlardan bir tanesinde yağlı dejenerasyon yanısıra vakuoler dejenerasyon da bulunmaktadır. A ve D gruplarında, altı haftalık gözlem süresi sonunda öldürülenlerden olmak üzere 1'er (% 10 - 11,2) farede yağlı dejenerasyon izlendi. B ve C grubundaki farelerin hiç birinde yağlı dejenerasyon görülmemi. Bu oranlar arasındaki fark, istatistiksel olarak önemsizdi ( $p > 0,05$ ).

Yağlanması, hepatositlerde lipidin anormal birikimi ile karakterli değişikliktir. Biriken yağın miktarı, yapımı ve mobilizasyonu arasındaki dengeye bağlıdır. Normal şartlarda lipidler karaciğere yağ depolarından ve diyetle alınan serbest yağlardan gelir (33, 87, 90).

Karaciğer hücresinde fazla miktarda triglyceridin birikim nedenleri; fazla miktarda yağ asidi girmesi, yağ asidi sentezinin artması, yağ asidlerinin trigliseridleere dönüşmesinin artması, karaciğer hücreinden atılımı için gerekli apoprotein sentezinin azalması ve karaciğerden lipoprotein sekresyonunun zamasıdır (33).

Deney gruplarından A ve D grubundan sadece birer farede yağlı dejenerasyon saptanırken, kontrol grubundan 3 (% 30) farede izlendi. Kontrol grubunda görülen

ve deney gruplarında ise toplam iki farede görülen bu yağlı dejenerasyonun verilen artan BCG dozları ile ilişkisi saptanmadı.

BCG verilen gruplarda yağlanması hiç görülmeyeşi ya da birer farede olmak üzere çok az, buna karşın kontrol grubundaki 10 farenin 3 (% 30)'ünde görülmesi, bu farkın BCG verilmesi ile uyarılan ve yağlanması engelleyci mediatör rol oynayan bir madde aracılığıyla gerçekleştigini düşündürebilir. Burada mediatör rol oynayan TNF - $\alpha$  sorumlu tutulmaktadır.

Tracey ve arkadaşları, TNF - $\alpha$  'nın yağlanması, lipolizisi artırarak engellediğini belirtmektedirler (20).

Beutler ve Cerami ise buradaki TNF - $\alpha$  'nın sistemik lipoprotein lipaz aktivitesini azaltarak yağ asidlerinin hücre içine alınmasını inhibe ettiğini ve bu nedenle yağlanması olmadığını, dolayısıyla kaseksinin oluştuğunu ileri sürmektedirler (22). TNF - $\alpha$  'nın rol oynadığı bu değişikliklerde beraberinde paradoksal lipemi söz konusudur (20, 22). Bu da yukarıda vurgulamaya çalıştığımız mekanizmayı destekleyen bir bulgudur.

Çalışmamızda glikojen içeriğinde azalma PAS boyası ile araştırıldı. Buna göre; kontrol grubundaki farelerin hiç birinde glikojen içeriğinde azalma görülmmedi. A grubundan, biri gözlemin on altinci günü ölen, 2 (% 20) tanesi gözlem süresi sonunda öldürülen farelerden olmak üzere toplam 3 (% 30) farede glikojen içeriğinde azalma saptandı. B grubundan 2 tanesi gözlemin altinci ve on birinci günlerinde ölen fareler, 2 tanesi gözlem süresi sonunda öldürülen fareler olmak üzere toplam 4 (% 44,5) farede glikojen içeriğinde azalma saptandı. C grubundan

2 tanesi gözlemin on ikinci ve on sekizinci günü ölen farelerden olmak üzere 3 (% 30) farede, D grubunda 2 (% 22,3) tanesi gözlemin on ikinci ve on sekizinci günü ölen fareler olmak üzere glikojen içeriğinde azalma saptandı.

Bu oranlar istatistiksel olarak değerlendirildiğinde B grubu ile kontrol grubu arasındaki fark önemli ( $t: 2,5; p < 0,05$ ), A ve C grubu ile kontrol grubu arasındaki fark oran değer değişikliğine bağlı olarak önemli ( $t: 2; p > 0,05, p < 0,10$ ), D grubu ile kontrol grubu arasındaki fark ötemsiz bulundu ( $p > 0,05$ ).

Istatistiksel olarak anlamlı bulunan B grubu ile oran değer değişikliğine bağlı olarak anlamlı bulunan A ve C gruplarındaki farelerin karaciğer hücrelerindeki glikojen içeriğindeki azalma TNF - $\alpha$ 'nın glikojenolizisi artırması yoluyla gerçekleştiği kabul edilebilir. Nitekim Tracey ve arkadaşları, Beutler ve arkadaşları, in vitro çalışmalarında TNF - $\alpha$ 'nın glikojenolizisi artırdığını göstermişlerdir (20, 22).

Ayrıca A ve C grubundaki farelerde olaya tüberkülomların eşlik etmesi yanışal reaksiyonlarda TNF - $\alpha$ 'nın mediatör rolünü de yansımaktadır. Yanışal reaksiyonlarda TNF - $\alpha$  ve IL - 1 aracılığı ile bir yandan endotel yüzeyine lenfosit ve PMNL'lerin adezyonunu artırması, diğer yandan prokoagulan aktiviteyi artırması ayrıca endotel hücreinden PG sentezini de uyararak iskemik zedelenmeye yol açtığı bilinmektedir (20, 22-26, 33).

Anaerobik glikoliz yoluyla meydana gelen fosfat esterlerinin hidrolizi, laktik asid ve inorganik fosfatların birikmesi ile hücre içi pH düşer. Bu, bir yandan nükleer kromatinde kümelenmeye, diğer yandan da hücrenin iyon denge-

sindeki değişikliğe neden olur. Zedeleyici ajanın etkisinin devam etmesi halinde membran zedelenmesi lizozomal enzimlerin açığa çıkışı ile hücre içi komponentler sindirilir. Nükleus, büzülerek küçülür. Bunu karyolizis ya da karyoreksiz izler (33, 90).

Çalışmada kalitatif olarak değerlendirdiğimiz nükleer pleomorfizm (+), deney grupları ve kontrol grubundaki hayvanların tümüne yakınında izlendi.

Nükleer pleomorfizm (++) ise kontrol grubunda hiç bir farede izlenmedi. Gözlem süresi sonunda öldürülerden olmak üzere A grubundan 2 (% 20), B grubundan 4 (% 44,5), C grubundan 4 (% 40) ve D grubundan 1 (% 11,2) farede saptandı.

Bu oranlar, A ve D grubu ile kontrol grubu karşılaştırıldığında istatistiksel olarak önemsizdi ( $p > 0,05$ ). B ( $t: 2,5$ ;  $p < 0,05$ ) ve C ( $t: 2,35$ ;  $p < 0,05$ ) gruplarında, kontrol grubu ile karşılaştırıldığında önemli bulundu. Bu oranlara göre doz ile ilişkili olmayan şiddetli olarak da tanımlanabilen nükleer pleomorfizm (++) $,$  B ve C grubunda anlamlıydı.

Bu nükleer değişikliklerin yine hücre zedelenmesine neden olan bir mediatör aracılığıyla meydana geldiği düşünülmektedir. Daha öncede anlatıldığı gibi pH'nın düşmesi, lizozomal enzimlerin açığa çıkması, nükleer değişikliklerin meydana gelmesine neden olmaktadır (33).

Çalışmada fokal nekrozun deney grupları ve kontrol grubunda görülmeye oranı ve lobülüs içinde dağılımı bakımından değerlendirildiğinde kontrol grubundaki 10 (% 100), A grubunda 10 (% 100), B grubunda 8 (% 88,9), C grubunda 10 (% 100), D grubunda 9 (% 100) farede fokal nekroz sap-

tandı. Kontrol grubundaki fokal nekrozlar az sayıda olup belirgin bir zonal dağılım göstermiyordu. Ancak deney gruplarındaki farelerde izlenen nekrozların hepsi  $Z_2$ 'de daha fazla olmak üzere, daha az olarak da  $Z_1$  ve  $Z_3$ 'de izlendi.

Deney grupları ile kontrol grubu arasında fokal nekrozun görülmeye oranı bakımından fark istatistiksel olarak önemsiz olmasına karşın ( $p > 0,05$ ), fokal nekrozun dağılımı yönünden anlamlı idi ( $p < 0,05$ ). Bu daha çok  $Z_2$ 'de meydana gelen bu nekrozların iskemik zedelenmeden farklı bir mekanizmasının olabileceğini düşündürdü.

Yapılan deneysel çalışmalarla prokoagülen aktiviteyi artıran TNF -  $\alpha$  ve IL - 1'in beraberinde antikoagülen aktiviteyi azalttığı gösterilmiştir (20, 22-26, 33). Bu olay karaciğerde fibrin depolanması ve trombosit topluluklarının meydana gelmesi ve sinüzoidlerde mikrotrombüslerin oluşmasına neden olur. Bu şekilde mikrosirkülasyonda meydana gelen bu bozukluk kendini öncelikle  $Z_2$ 'de, daha sonra diğer zonlarda nekroz şeklinde gösterir (44, 48, 49).

TNF -  $\alpha$  ve IL - 1 aracılığıyla meydana gelen iskemik doku zedelenmesi sonucunda  $Z_3$ 'de fokal nekrozların daha fazla olması beklenirdi. Ancak burada bazı araştırmacıların özellikle mikrosirkülasyon bozukluğu nedeniyle meydana gelen nekrozların  $Z_2$ 'de bulunması ve daha sonra diğer alanlarda bulunması dikkat çekicidir (44, 48, 49).

Deney gruplarında özellikle  $Z_2$ 'de izlenen bu fokal nekrozlar sirkülasyon bozukluğuna yol açan bir mediatör aracılığı ile oluştuğu görüşünü desteklemektedir.

Karaciğer dokusunda meydana gelen diğer histopatolojik değişikliklerden bulanık şişme, tüm farelerde 48

(% 100), safra pigmenti kontrol grubunda 2 (% 20), hemosiderin pigmenti kontrol grubunda 1 (% 10), A ve D grubunda 1'er (% 10 - 11,2) farede, Kupffer hücre hiperplazisi A grubundan biri hariç hepsinde, v. centraliste konjesyon tüm farelerde izlendi. Portal alanda konjesyon kontrol grubunda 9 (% 90), A grubunda 8 (% 80), B grubunda 9 (% 100), C grubunda 9 (% 90), D grubunda 9 (% 100) farede, duktal dilatasyon kontrol grubunda 3 (% 30), B grubunda 2 (% 22,3), D grubunda 1 (% 11,2) farede görüldü.

Ekstramedüller hemopoezis ise kontrol grubunda 3 (% 30), A grubunda 2 (% 20), B grubunda 2 (% 22,3), C grubunda 3 (% 30), D grubunda 2 (% 22,3) farede görüldü. İnsanlarda fotal hayat ve yeni doğan evresinin ilk haftasında karaciğerde normalde hemopoezis odakları görülmeyeceğine karşın erişkin dönemde anemi veya myeloproliferatif hastalıklarda ekstramedüller hemapoezis olur (33, 87, 88, 90, 91). Erişkin dönemdeki farelerde ise normalde ekstramedüller hemopoezis odakları bulunabileceği bilinmektedir (92).

Bu çalışmada BCG'nin nadir görülen komplikasyonlarından bir olan BCGitis yanısıra, karaciğerde vakuoler dejenerasyon, yağlanması, glikojen içeriğinde azalma, fokal nekroz ve nükleer pleomorfizm gibi histopatolojik bulgular ile artan BCG dozları arasında belirgin bir fark görülmeli. Ancak kontrol grubu ile deney grupları karşılaştırıldığında anlamlı hepatoselüler değişiklikler saptandı. Bu değişikliklerin mediatör rol oynayan herhangi bir sitokin aracılığı ile olabileceği düşünülmekle beraber bulgular, bu sitokinin BCG kullanımı ile salınan TNF - $\alpha$  ile olduğu görüşünü desteklemektedir. Diğer bir deyişle LPS olsun veya olmasın yalnızca BCG kullanımının TNF - $\alpha$  'nın başlattığı endotel

harabiyeti ve bunun sonuçlarının karaciğer dokusunda histopatolojik olarak kendini gösterdiği söylenebilir.

## **SONUÇLAR**

BCG'nin 45 - 50 gr. ağırlığındaki albino farelere değişik dozlarda IP enjeksiyonu ile akciğer ve karaciğerde meydana gelen marfolojik değişiklikler iki grupta ele alındı. Bunlar:

### **A. BCG'ye bağlı direkt etkiler:**

1. Gözlem süresi içinde ölen farelerin 3 (% 6.3) tanesinin akciğerlerinde akut primer nonspesifik yangısal reaksiyon görüldü.

2. Gözlem süresi içinde ölen A grubundan 1 (% 10) farenin akciğerlerinde, C grubundaki 1 (% 10) farenin karaciğerinde, gözlem süresi sonunda öldürülen C grubundan 1 (% 10) farenin akciğerlerinde, A grubundan 1 (% 10) farenin karaciğerinde olmak üzere toplam 4 ayrı farede kronik granülomatöz yangısal reaksiyon görüldü.

### **B. BCG'nin bilinen etkileri dışında ortaya çıkan indirekt histopatolojik değişiklikler:**

1. BCG'nin değişik dozlarda verilmesi ile karaciğerde çeşitli histopatolojik değişiklikler oluşturuldu. Bunlar arasında vakuoler dejenerasyon, yağlanması, glikojen içeriğinde azalma, fokal nekroz, nükleer pleomorfizm sayılabilir.

2. Bu bulguların ışığı altında BCG verilen farelerde meydana gelen karaciğer değişiklerinin TNF - $\alpha$ 'nın oluşturduğu değişikliklere çok büyük benzerlik gösterdiği saptandı.

## ÖZET

Bu çalışma, 45 - 50 gr. ağırlığında farelere BCG vererek akciğer ve karaciğerlerinde meydana gelen histopatolojik değişikliklerle TNF -  $\alpha$  salınımının sadece BCG verilerek uyarılıp uyarılmadığını saptamak ve nadir de olsa BCG'nin hem tüberküloz profilaksisi hem de nonspesifik aktif immünoterapide görülen yan etkilerinin TNF -  $\alpha$  ile ilişkisinin olup olmadığını belirlemek amacıyla yapıldı.

Deneyde toplam 50 fare kullanıldı. 10'ar fareden oluşan deney gruplarına  $5 \times 10^4$  canlı jerm içeren 0.05 ml. BCG (A grubu),  $1 \times 10^5$  canlı jerm içeren 0.1 ml. BCG (B grubu),  $2 \times 10^5$  canlı jerm içeren 0.2 ml. BCG (C grubu),  $4 \times 10^5$  canlı jerm içeren 0.4 ml. BCG (D grubu) IP yolla uygulandı. Kontrol grubundaki farelere 0.05 ml. sodyum klorür % 0.9 izotonik sudaki solüsyonundan verildi. Tüm farelerde gözlem süresi 6 hafta olarak belirlendi. Gözlem süresi içinde değişik günlerde ölen 6 fareye otopsi yapıldı. Deney sırasında iki farenin kafesteki diğer fareler tarafından parçalanması nedeniyle organlarındaki morfolojik değişiklikler incelenemedi. Gözlem süresi sonunda kalan 42 farenin hepsine otopsi yapıldı.

BCG'nin albino farelerin akciğer ve karaciğer dokuları üzerindeki etkileri iki ana grupta toplandı:

### A. BCG'ye bağlı direkt etkiler:

1. Gözlem süresi içinde ölen B grubunda 2 (% 20), D grubundan 1 (% 11.2) farenin akciğerlerinde akut primer nonspesifik yanmışal reaksiyon görüldü.

2. Gözlem süresi sonunda öldürülen kontrol grubundan hiçbir farede kronik granülomatöz yanışal reaksiyon izlenmedi. A ve C grubundan birer farenin karaciğerinden ve aynı gruptardan birer farenin akciğerinde kronik granülomatöz yanışal reaksiyon saptandı.

**B. BCG'nin bilinen etkileri dışında ortaya çıkan indirekt histopatolojik değişiklikler:**

BCG'nin değişik dozlarda verilmesiyle karaciğerde meydana gelen histopatolojik değişikliklerden kontrol grubu ile deney gruptarı arasındaki farklılığın anlamlı bulunduğu vakuoler dejenerasyon, hepatositlerin glikojen içeriğinde azalma, nükleer pleomorfizm, fokal nekroz ve ilişkili bulunan yağlanması esas olarak değerlendirildi.

Vakuoler dejenerasyonun hepsi gözlem süresi sonunda öldürülen farelerde izlendi. Kontrol grubunda hiç bir farede bu değişikliğe rastlanmadı. A grubunda hiç bir farede gözlenemezken, B grubunda 4 (% 44,5), C grubunda 4 (% 40), D grubunda ise 1 (% 11,2) farede histopatolojik bir bulgu olarak karşımıza çıktı.

Yağlanması kontrol grubunda 3 (% 30) farede izlenirken, A ve D grubunda birer farede (% 10 - 11,2) saptandı. B ve C grubunda hiç bir farede yağlanması gözlenmedi.

Hepatositlerin glikojen içeriğinde azalma kontrol grubunda hiç bir farede dikkati çekmedi. Buna karşın A grubunda 3 (% 30) (bir tanesi gözlem süresi içinde öldü), B grubunda 4 (% 44,5) (iki tanesi gözlem süresi içinde öldü), C grubunda 3 (% 30) (iki tanesi gözlem süresi içinde öldü) ve D grubunda da 2 (% 21,2) farede hepatositlerin glikojen içeriğinde azalma saptandı.

Hafif nükleer pleomorfizm kontrol ve deney gruplarını oluşturan farelerin tümünde saptanın bir bulgu olmasına karşın belirgin formu A grubunda 2 (% 20), B grubunda 4 (% 44,5), C grubunda 4 (% 40) ve D grubunda 1 (% 11,2) farede izlendi. Kontrol grubunu oluşturan farelerin hiçbirinde ise belirgin nükleer pleomorfizm görülmeli.

Fokal nekroz görme oranları arasındaki farklılık yönünden kontrol grubu ile deney grupları arasında anlamlı bir sonuç elde edilmeli. Ancak, nekroz odaklarının lokalizasyonu yönünden önemli farklılıklar dikkati çekti. Kontrol grubunda belirgin bir zonal patern göstermeyen fokal nekroz alanlarının deney grublarında, özellikle  $Z_2$ 'de yoğunlaştığı belirlendi.

Karaciğer dokusunda izlenen diğer histopatolojik değişikliklerin görme oranları yönünden kontrol grubu ile deney grupları arasında anlamlı bir fark saptanmadı.

Bu bulgular ışığında değişik dozlarda BCG verilen farelerin karaciğerlerinde görülen değişikliklerin TNF - $\alpha$ 'nın bilinen etkileriyle büyük benzerlik gösterdiği belirlendi. Ancak bu değişikliklerin artan doz ile bir ilişkisi saptanmadı.

Sonuç olarak, değişik dozlarda BCG verilen farelerde doz ile ilişkili olmayan tüberkülomların gelişe- bileceği, ayrıca karaciğerde görülen değişikliklerin TNF - $\alpha$ 'nın etkileriyle büyük benzerlik gösterdiği ve yine bu değişikliklerin artan doz ile ilişkili olmadığı ortaya kondu.

## KAYNAKLAR

1. Willet HP. Mycobacterium. In: Joklik WK, Willet HP, Amos DB, Wilfert CM, eds. Zinsser microbiology. USA: Prentice - Hall International Inc., 1988: 423 - 48.
2. Gülmezoğlu E. Bağışıklığın temelleri: Infeksiyonlara karşı bağışıklık. 3. baskı Ankara: Sevinç Matbaası, 1983: 181.
3. Berlin OGW. Mycobacteria. In: Baron EJ, Finegold SM, eds. Bailey and Scott's diagnostic microbiology. St. Louis: The C.V. Mosby Company, 1990: 597 - 640.
4. Bilgehan H. Klinik mikrobiyoloji özel bakteriyoloji ve bakteri enfeksiyonları: Mycobacteriaceae. 4. baskı. İzmir: Bilgehan Basımevi, 1983: 338.
5. Unat EK. Tıp bakteriyolojisi ve virolojisi: Mycobacterium cinsi. 1. baskı. İstanbul: Emek Matbaacılık, 1982: 312.
6. Floyd WD. Infectious diseases. In: Behrman RE, Vaughan 111 VC, Senior Editor Nelson WE, eds. Nelson textbook of pediatrics. Philadelphia: WB. Saunders Company, 1987: 544 - 755.
7. Leventhal BG, Konior GS. Immunologic treatment of neoplasms in man. In: Green I, Cohen S, McCluskey RI, eds. Mechanisms of tumor immunity. USA: John Wiley Sons, Inc. 1977: 215 - 48.
8. Yalçın I. BCG aşısı. XXII. Türk Mikrobiyoloji Kongre kitabı. ed. Doç. Dr. Gürendame Saygı, Sivas: Emek Matbaası, 1986: 53 - 6.
9. Styblo K, Meijer J. Impact of BCG vaccination programmes in children and young adults on the tuberculosis problem. In: Selected papers. Holland: The Royal Netherlands Tuberculosis Association 7 Riouwstraat - The Hague, 1977; 17: 5 - 37.

10. Klein G. Tumour immunology. In: Fougereau M, Dausset J, eds. Immunology 80. London: Academic Press, 1980: 680-7.
11. Fudenberg HH, Wybran J. Experimental immunotherapy. In: Fudenberg HH, Stites DP, Caldweel JL, Wells JV, eds. Basic clinical immunology. Los Altos, California: Lange Medical Publications, 1980: 722 - 36.
12. Rook G. Cell - mediated immune responses. In: Roitt IM, Brostoff J, Male DK, eds. Immunology. London, Churc-hill, Livingstone: Gower Medical Publishing, 1989: 9.1 - 9.14.
13. Böhle A, Nowc CH, Ulmer AJ, et al. Elevations of cytokines interlevkin - 1, interleukin - 2 and tumor necrosis factor in the urine of patients after intravesical bacillus Calmette - Guerin immunotherapy. J. Urol 1990; 144: 59 - 64.
14. Stilmant M, Siroky MB, Johnson KB. Fine needle aspiration cytology of granulomatous prostatitis induced by BCG immunotherapy of bladder cancer. Acta Cytol 1985; 29 (6): 961 - 6.
15. Klein WR, Steerenberg PA, Poelma F, et al. Immune reactivity in cattle with ocular squamous cell carcinoma after intralesional BCG immunotherapy. Cancer Immunol Immunother 1986; 22: 87-94.
16. Oettgen HF. Biological agents in cancer therapy: cytokines, monoclonal antibodies and vaccines. J Cancer Res Clin Oncol 1990; 116 (1): 116 - 9.
17. Misirligil Z. Akciğer kanserinde BCG ile immün tedavi. Tüberküloz ve Toraks 1984; 32 (2): 80 - 3.

18. Lage JM, Bauer WC, Kelley DR, Ratliff TL, Catalona WJ. Histological parameters and pitfalls in the interpretation of bladder biopsies in bacillus Calmette - Guerin treatment of superficial bladder cancer. J Urol 1986; 135 (May): 916 - 9.
19. Morales A, Eidinger D, Bruce AW. Intracavitary bacillus Calmette - Guerin in the treatment of superficial bladder tumors. J Urol 1976; 116 (Aug): 180 - 3.
20. Tracey KJ, Vlassara H, Cerami A. Cachectin / Tumour necrosis factor. Lancet 1989; 20 (May): 1122 - 6.
21. Atabey N, Gökoğlu M, Atabey A. Tümör nekroz faktörü. Ç. Ü. Tip Fak. Der. 1989; 3: 458 - 64.
22. Beutler B, Cerami A. Cachectin: More than a tumor necrosis factor. N Engl J Med 1987; 316 (7): 379 - 85.
23. Old LJ. Tumor necrosis factor (TNF). Science 1985; 230 (4726): 630 - 2.
24. Carswell EA, Old LJ, Kassel LR, Green S, Fiore N, Williamson B. An endotoxin - induced serum factor that causes necrosis of tumors. Proc Nat Acad Sci USA 1975; 72 (9): 3666 - 70.
25. Matthews N. Tumour - necrosis factor from rabbit III. Relationship to interferons. Br J Cancer 1979; 40: 534 - 9.
26. Bauss F, Dröge W, Männel DN. Tumor necrosis factor mediates endotoxic effects in mice. Infect Immun 1987; 55 (7): 1622 - 5.
27. Satoh M, Inagawa H, Minagawa H, et al. Endogenous production fo TNF in mice long after BCG sensitization. J Biol response Mod 1986; 5: 117 - 23.
28. Grau GE, Taylor TE, Molyneux ME, et al. Tumor necrosis factor and disease severity in children with falciparum malaria. N Engl J Med 1989; 15 (June): 1586 - 91.

29. Silva C, Foss NT. Tumor necrosis factor in leprosy patients. *J Infect Dis* 1989; 159 (4): 787 - 90.
30. Michie HR, Manogue KR, Spriggs DR, et al. Detection of circulating tumor necrosis factor after endotoxin administration. *N Engl J Med* 1988; 318 (23): 1481 - 6.
31. Beutler B, Cerami A. Cachectin - Tumour necrosis factor: A cytokine that mediated injury initiated by invasive parasites. *Parasitol Today* 1987; 3 (11): 345 - 6.
32. Fayer R, Andrews C, Dubey JP. Lysates of *Sarcocystis cruzi* Bradizoites stimulate raw 264,7 macrophages to produce tumor necrosis factor (cachectin). *J parasit* 1988; 74 (4): 660 - 2.
33. Cotran RS, Kumar V, Robbins SL. Robbins pathologic basis of disease: Inflammation and repair. 4th ed. Philadelphia: W.B. Saunders Company, 1989: 39.
34. Nathan CF. Secretory products of macrophages. *J Clin Invest* 1987; 79: 319 - 24.
35. Ruco LP, Stoppacciaro A, Pomponi D, et al. Immunoreactivity for IL - 1 beta and TNF alpha human lymphoid and nonlymphoid tissues. *Am J Pathol* 1989; 135 (5): 889 - 97.
36. Mc Call JL, Yun K, Funamoto S, Parry BR. In vivo immunohistochemical identification of tumor necrosis factor / Cachectin in human lymphoid tissue. *Am J Pathol* 1989; 135 (3): 421 - 5.
37. Eberlein - Gonska M, Noronha IL, Waldherr R. Tumornekrosefaktor bei entzündlichen Nierenerkrankungen. *Verh Dtsch Ges Path* 1990; 74: 487.

38. Matsumura H, Nakano M. Endotoxin - induced interferon -  $\gamma$  production in culture cells derived from BCG - infected C3H/HeJ mice. *J Immunol* 1988; 140 (2): 494 - 590.
39. Kajikawa T, Shimada Y, Oshima H, Yamazaki M, Mizuno D. Endogenous production of TNF - like cytotoxic factor in BCG - primed mice by heterologous fibrinogen. *J Biol Response Mod* 1987; 6 (1): 88 - 95.
40. Neale ML, Matthews N. Antimicrobial effects of a macrophage - derived cytotoxin from the serum of BCG - primed rabbits (Tumour necrosis factor). *J Med Microbiol* 1984; 17: 211 - 3.
41. Groote MA, Martin MA, Densen P, Pfaffer MA, Wenzel RP. Plasma tumor necrosis factor levels in patients with presumed sepsis. *Jama* 1989; 262 (2): 249 - 51.
42. Aggarwall BB, Kohr WJ, Hass PE, et al. Human tumor necrosis factor. Production, purification and characterization. *J Biol Chem* 1985; 260 (4): 2345 - 54.
43. Beutler B, Krochin N, Milsark IW, Luedke C, Cerami A. Control of cachectin (Tumor necrosis factor) synthesis: Mechanisms of endotoxin resistance. *Science* 1986; 232 (May): 977 - 80.
44. Fukushima H, Ikeuchi J, Tohkin M, Matsubara T, Harada M. Lethal shock in phartially hepatectomized rats administered tumor necrosis serum. *Circ Shock* 1988; 26: 1 - 14.
45. Kettelhut IC, Fiers W, Goldberg AL. The toxic effects of tumor necrosis factor in vivo and their prevention by cyclooxygenase inhibitors. *Proc Natl Acad Sci USA* 1987; 84 (June): 4273 - 7.

46. Sun X, Hsueh W, Torre - Amione G. Effects of in vivo 'priming' on endotoxin induced hypotension and tissue injury. The role of PAF and tumor necrosis factor. *Am J Pathol* 1990; 136 (4): 949 - 56.
47. Peavy DL, Baughn RE, Musher DM. Effects of BCG infection on the susceptibility of mouse macrophages to endotoxin. *Infect Immun* 1979; 24 (1): 59 - 64.
48. Tracey KJ, Beutler B, Lowry SF, et al. Shock and tissue injury induced by recombinant human cachectin. *Science* 1986; 234 (Oct): 470 - 4.
49. Düzcan E. Siklofosfamid ve steroid verilen farelerde oluşturulan deneysel *E. coli* sepsisinde uygulanan farklı tedavilerin karaciğer histopatolojisi üzerine etkileri (Tez), Sivas, Cumhuriyet Üniversitesi, 1990.
50. Stark JM, Jackson SK, Taylor S, Davies I, Harwood JL. The effect of endotoxin on membran fatty acid composition in BCG - sensitized mice. *Experientia* 1990; 46: 472 - 4.
51. Anonymous. BCG: Bad news from India (Editorial). *Lancet* 1980; 12 (Jan): 73 - 4.
52. Frommel D, Lagrange PH. BCG: modifier of immune responses to parasites. *Parasitol Today* 1989; 5 (6): 188 - 90.
53. Sarıyüce O, Ayhan A, Özen H, Gedikoğlu G. Yüzeyel mesane tümörlerinde profilaktik intrakaviter BCG tedavisine bağlı histopatolojik değişiklikler. VIII. Ulusal Patoloji Kongre Kitabı Ankara; 1988: 212 - 5.
54. Lamm DL. *Bacillus Calmette - Guerin immunotherapy for bladder cancer*. *J Urol* 1985; 134: 40 - 3.

55. Marans HL, Bekirov HM, Granulomatous hepatitis following intravesical bacillus Calmette - Guerin therapy for bladder carcinoma. *J Urol* 1987; 137 (Jan): 111 - 2.
56. Merguerian PA, Donahue L, Cockett ATK. Intraluminal interleukin 2 and bacillus Calmette - Guerin for treatment of bladder cancer: a preliminary report. *J Urol* 1987; 137 (Feb): 216 - 9.
57. Hudson MA, Ritchey JK, Catalona WJ, Brown EJ, Ratliff TL. Comparison of the fibrinonectin - binding ability and antitumor efficacy of various Mycobacteria. *Cancer Res* 1990; 50 (July): 3840 - 7.
58. Morales A, Pang ASD. Prophylaxis and therapy of an experimental bladder cancer with biological response modifiers. *J Urol* 1986; 135 (Jan): 191 - 3.
59. De Hertogh D, Fierer E, Orell JA. Hypersensitivity reaction to bacillus Calmette - Guérin treated with plasmapheresis. *Am J Med* 1989; 86 (March): 343 - 4.
60. De Jong WH, De Boer EC, Van Der Meijden APM, et al. Presence of interleukin - 2 in urine of superficial bladder cancer patients after intravesical treatment with bacillus Calmette - Guérin. *Cancer Immunol Immunother* 1990; 31: 182 - 6.
61. Sakamoto GD, Burden J, Fisher D. Systemic bacillus Calmette Guérin infection after transurethral administration for superficial bladder carcinoma. *J Urol* 1989; 142 (Oct): 1073 - 5.

62. Steg A, Leleu C, Debré B, Boccon - Gibod L, Sicard D. Systemic bacillus Calmette - Guérin infection, 'BCGitis', in patients treated by intravesical bacillus Calmette - Guérin therapy for bladder cancer. Eur Urol 1989; 16: 161 - 4.
63. Klostergaard J, Leroux ME, Ezell SM, Kull FC. Tumoricidal effector mechanisms of murine bacillus Calmette - Guérin - activated macrophages: mediation of cytolysis, mitochondrial respiration inhibition, and release of intracellular iron by distinct mechanisms. Cancer Res 1987; 47 (Apr): 2014 - 9.
64. Lester SM, Wood JG, Gooding LR. Tumor necrosis factor can induce both apoptic and necrotic forms of cell lysis. J Immunol 1988; 141 (8): 2629 - 34.
65. Hsu PL, Hsu SM. Production of tumor necrosis factor -  $\alpha$  and lymphotoxin by cells of Hodgkin's neoplastic cell lines LDLM - 1 and KM - H2. Am J Pathol 1989; 135 (4): 735 - 45.
66. Cavender DE, Edelbaum D, Ziff M. Endothelial cell activation induced by tumor necrosis factor and lymphotoxin. Am J Pathol 1989; 134 (3): 551 - 60.
67. Vissers MCM, Fantone JC, Wiggins R, Kunkel SL. Glomerular basement membrane - containing immune complexes stimulate tumor necrosis factor and interleukin - 1 production by human monocytes. Am J Pathol 1989; 134 (1): 1 - 6.
68. Balkwill F, Burke F, Talbot D, et al. Evidence for tumour necrosis factor / cachectin production in cancer. Lancet 1987; 28 (Nov): 1229 - 32.
69. Scuderi P, Lam KS, Ryan KJ, et al. Raised serum levels of tumour necrosis factor in parasitic infections. Lancet 1986; 13 (Dec): 1364 - 6.

70. Coley WB. The treatment of malignant tumors by repeated inoculations of erysipelas; with a report of ten original cases. Am J Med Sci 1893; 105: 487 - 511.
71. Pringle D, Ray CS, Legg W, Mbengeranwa OL. Lymphadenitis associated with BCG vaccination: a report of an outbreak in Harare, Zimbabwe. Cent Afr J Med 1988; 34 (12): 281 - 6.
72. Helmick CG, D'Souza AJ, Goddard N. An outbreak of severe BCG axillary lymphadenitis in Saint Lucia, 1982 - 83. West Indian Med J 1986; 35: 12 - 7.
73. Burden DA, Reed MH, Ferguson CA. Calcification of axillary lymph nodes following BCG vaccination. Can Assoc Radiol J 1989; 40: 92 - 3.
74. Pehlivan E, Özcan C. Ankara'da BCG aşısı ve PPD uygulayan kuruluşlarda saptanan aşırı komplikasyon ve fireleri. Tüberküloz ve Toraks 1987; 36 (1): 21 - 29.
75. Boudes P, Sobel A, Deforges L, Leblie E. Disseminated *Mycobacterium bovis* infection from BCG vaccination and HIV infection. Jama 1989; 262 (17): 2386.
76. Kelleher MB, Christopherson WA, Macpherson TA. Disseminated granulomatous disease (BCGosis) following chemoimmunotherapy for ovarian carcinoma. Gynecol Oncol 1988; 31: 321 - 6.
77. Kondratowicz, Wallace DMA. Granulomas of the kidney induced by bacillus Calmette Guérin (BCG). J Clin Pathol 1989; 42 (4): 442.
78. Stanisic TH, Brewer ML, Graham AR. Intravesical bacillus Calmette - Guérin therapy and associated granulomatous renal masses. J Urol 1986; 135: 356 - 8.

79. Monte S, Hutchins GM. Fatal disseminated bacillus Calmette - Guérin infection and arrested growth of cutaneous malignant melanoma following intralesional immunotherapy. Am J Dermatopathol 1986; 8 (4): 331 - 5.
80. Jenkins MJ, Kilpatrick. Pulmonary tuberculosis due to BCG. Br Med J 1971; 3: 229 - 30.
81. Ritch PS, McCredie KB, Guttermann JU, Hersh EM. Disseminated BCG disease associated with immunotherapy. Cancer 1978; 42: 167 - 70.
82. Trevenen CL, Pagtakhan RD. Disseminated tuberculoid lesions in infants following BCG vaccination. Can Med Assoc J 1982; 127: 502 - 4.
83. Saygun N. Tüberkülozlu kobaylarda BCG ve PPD ile uyarılmasına bağlı histopatolojik ve bakteriyolojik değişiklikler (Tez), Ankara, Ankara Üniversitesi, 1976.
84. Rosai J. Ackerman's surgical pathology: Liver. 7th ed. St. Louis: The C. V. Mosby Company, 1989: 675.
85. Ishak KG, Stromeyer FW. Medical disease of the liver. In: Silverberg SG, ed. Principles and practice of surgical pathology. New York: Churchill Livingstone, 1990: 1261 - 316.
86. Yüce G, Yağcı Sayın A. Granülomatöz hepatitler. VIII. Ulusal Patoloji Kongre Kitabı Ankara; 1988: 384 - 7.
87. Weinbren K. The liver. In: Symmers W St. C, ed. Systemic Pathology. Edinburgh: Churchill Livingstone, 1978: 1199 - 302.
88. Scheuer PJ. Liver biopsy interpretation: The normal liver. 2nd ed. London; Bailliére and Tindall, 1973: 11.

89. Turhan B. Özel patolojik anatomi: karaciğer. 2. baskı  
İstanbul: Hüsnü Tabiat Matbaası, 1960: 90 - 127.
90. Edmondson HA, Peters RL. Liver. In: Anderson WAD,  
Kissane JM, ed. Pathology. Saint Louis: The C. V.  
Mosby Company, 1977: 1321 - 488.
91. Fawcett DW. Bloom and Fawcett a textbook of histology:  
The liver and gallbladder. 11th ed. Philadelphia:  
W.B. Saunders Company, 1986: 679.
92. Hummel KP, Richardson FL, Fekete E. Anatomy. In:  
Green EL, ed. Biology of the laboratory mouse. McGraw  
Hill, 1966: 247 - 307.